

**UJI KARAKTERISTIK NANOPARTIKEL MAGNETIT  
(Fe<sub>3</sub>O<sub>4</sub>) MENGGUNAKAN X-RAY DIFFRACTION DAN  
SCANNING ELECTRON MICROSCOPY**



Skripsi

Diajukan Untuk Memenuhi Salah Satu Syarat Mengikuti  
Ujian Seminar Skripsi Jurusan Fisika  
Pada Fakultas Sains dan Teknologi  
UIN Alauddin Makassar

Oleh:

LISA MARLISA SYAM

Nim: 60400112081

**FAKULTAS SAINS DAN TEKNOLOGI  
UIN ALAUDDIN MAKASSAR  
2017**

## **PERNYATAAN KEASLIAN SKRIPSI**

Dengan penuh kesadaran, penulis yang bertanda tangan di bawah ini menyatakan bahwa skripsi ini benar adalah hasil karya penyusun sendiri. Jika di kemudian hari terbukti bahwa ia merupakan duplikat, tiruan, plagiat, atau dibuat oleh orang lain, sebagian atau seluruhnya, maka skripsi dan gelar yang diperoleh karenanya batal karena hukum.

Gowa, 04 Februari 2017

Penyusun

LISA MARLISA SYAM

Nim. 60400112081

## PENGESAHAN SKRIPSI

Skripsi yang berjudul, ”Uji karakteristik Nanopartikel magnetite ( $Fe_3O_4$ ) Menggunakan X-ray Diffraction dan Scanning Electron microscopy”, yang disusun oleh Lisa Marlisa Syam, NIM: 60400112081. Mahasiswa Jurusan Fisika pada Fakultas Sains dan Teknologi UIN Alauddin Makassar, telah diuji dan dipertahankan dalam sidang *munaqasyah* yang diselenggarakan pada hari kamis tanggal 16 Februari 2017 M. Dinyatakan telah dapat diterima sebagai salah satu syarat untuk memperoleh gelar sarjana dalam Ilmu Sains Fisika, Jurusan Fisika (dengan beberapa perbaikan).

Gowa, 28 Februari 2017 M  
01 Jumadil Akhir 1438 H

### DEWAN PENGUJI:

Ketua : Prof. Dr. H. Arifuddin, M.Ag. (.....)

Sekretaris : Ihsan, S.Pd., M.Si. (.....)

Munaqisy I : Sahara, S.Si., M.Sc., Ph.D. (.....)

Munaqisy II : Sri Zelviani, S.Si., M.Sc. (.....)

Munaqisy III : Dr. Aan Parhani, Lc., M.Ag. (.....)

Pembimbing I : Muh. Said L., S.Si., M.Pd. (.....)

Pembimbing II: Hernawati, S.Pd., M.Pfis. (.....)

Diketahui oleh:

**Dekan Fakultas Sains dan Teknologi  
UIN Alauddin Makassar,**

**Prof. Dr. H. Arifuddin, M.Ag  
NIP. 19691205 199303 1 001**

## KATA PENGANTAR

Puji syukur atas kehadiran Allah swt dengan segala Rahmat, Hidayah serta keberkahannya yang diberikan kepada penulis sehingga mampu menyelesaikan skripsi yang berjudul ” *UJI KARAKTERISTIK NANOPARTIKEL MAGNETIT ( $Fe_3O_4$ ) MENGGUNAKAN X-RAY DIFFRACTION DAN SCANNING ELECTRON MICROSCOPY*” sebagai salah satu persyaratan akademis guna memperoleh gelar sarjana S-1 pada Jurusan Fisika Fakultas Sains dan Teknologi, Universitas Islam Negeri Alauddin Makassar.

Dalam proses penyusunan skripsi sangat banyak hambatan yang dihadapi penulis, akan tetapi, berkat doa, kerja keras, serta bantuan dari berbagai pihak hingga akhirnya penulis mampu menyelesaikan skripsi ini. Oleh karena itu, penulis merasa sangat bersyukur dan mengucapkan banyak terima kasih yang sebesar-besarnya kepada semua pihak yang telah meluangkan waktu dan tenaga guna terselesaikan-nya skripsi ini.

Terima kasih penulis hanturkan dengan setulus hati dan kerendahan hati kepada kedua orang tua tercinta Almarhum Bapak **Syamsul Bahri** dan Ibu **Anna** yang senantiasa tiada hentinya mendoakan dan memberikan motivasi disaat-saat penulis merasakan kesedihan dan putus asa karena pengerjaan skripsi ini, serta dukungan baik moril maupun materi dengan penuh keikhlasan kepada penulis sehingga dapat menyelesaikan studi strata satu dengan sebagaimana mestinya.

Rasa syukur dan terima kasih penulis ucapkan kepada Bapak **Muh. Said L. S.Si., M.Pd** selaku pembimbing I dan Ibu **Hernawati S.Pd., M.Pfis** selaku

pembimbing II, dengan segala ketulusan hati membimbing, bahkan telah banyak memberikan bantuan kepada penulis baik berupa arahan, nasehat dan semangat yang tak henti-hentinya diberikan dalam menghadapi berbagai macam kendala, kemalasan dan tantangan dalam penyusunan skripsi ini.

Terselesainya skripsi ini tidak terlepas dari bantuan dan motivasi dari berbagai pihak, maka dari itu tidak lupa penulis menyampaikan banyak terima kasih kepada:

1. Bapak **Prof. Dr. H. Musafir Pababbari, M.Si** selaku Rektor UIN Alauddin Makassar.
2. Bapak **Prof. Dr. H. Arifuddin, M.Ag** selaku Dekan Fakultas Sains dan Teknologi UIN Alauddin Makassar beserta Pembantu Dekan I, Pembantu Dekan II dan Pembantu Dekan III dan seluruh staf administrasi yang telah memberikan berbagai fasilitas kepada kami selama pendidikan.
3. Ibu **Sahara S.Si., M.Si., Ph.D.** selaku Ketua Jurusan Fisika Fakultas Sains dan Teknologi sekaligus Penguji I yang telah memberi kritikan, saran, nasehat, motivasi kepada penulis dalam proses penyelesaian skripsi ini.
4. Bapak **Ihsan, S.Si., M.Si** selaku Sekretaris Jurusan Fisika Fakultas Sains dan Teknologi yang telah membantu selama masa studi.
5. Ibu **Sri Zelviani, S.Si., M.Sc** selaku penguji II yang telah memberikan saran, motivasi serta masukan dalam perbaikan skripsi penulis.
6. Bapak **Dr. Aan Parhani, Lc., M.Ag** selaku penguji III yang telah memberikan saran, motivasi, masukan dalam perbaikan skripsi penulis.

7. Bapak dan Ibu Dosen Fisika beserta para Staf Jurusan Fakultas Sains dan Teknologi, Universitas Islam Negeri Alauddin Makassar yang telah membekali dan memberikan bantuannya dalam penyusunan skripsi ini.
8. Kepada kakak-kakak Laboran Fisika Bapak **Abdul Mun'im, ST. MT**, Bapak **Mukhtar, ST. MT**, Kakak **Nurhaisah, S.Si**, Kakak **Ningsih, S.E** yang sangat membantu memberi pencerahan dan bantuan kepada penulis hingga terselesainya tugas akhir ini.
9. Kepada sebelas kakak-kakak saya: Kakak **Oddang, Adi, Ayu, Anwar, Rifai, Erna, Ical, Dani, Alim, Onong, Dedi** yang tak henti-hentinya mendoakan dan memberi motivasi yang luar biasa.
10. Kakanda **Heryanto, S.Si** selaku pembimbing laboran XRD, di laboratorium Sains Building Universitas Hasanuddin Makassar.
11. Patner penelitian **Winda Wiqrawardani** dan **Ria Rukmana Yamin** atas semua bantuan, kerja sama dan masukannya selama proses penyelesaian skripsi ini.
12. Para sahabat sebagai tempat berbagi suka dan duka penulis selama proses penyelesaian skripsi ini terlaksana: **Dwi Resky Aprilia Jamal, Andi sitti Fatimah, Rina Selvina, Dendi Tenri Ajeng, Nasrunil Haq, Resky Sapta Putra, Irsandi Muis, Sri Sulaeha**.
13. Teman-teman KKN Enrekang yang telah memberi banyak dukungan penulis dalam menyelesaikan skripsi ini: **Arni, Nita, Ria, Sinta, Rukma, Syamsul, Pian, Alim, Akbar, Zainal**.

14. Teman-teman Angkatan 2012 (**Radiasi**) yang selalu memberikan motivasi dan semangat bagi penulis.
15. Seluruh keluarga besar **Himpunan Mahasiswa Jurusan Fisika (HMJ-FIS)** yang telah banyak membantu.
16. Keluarga besar **UKM Seni Budaya eSA** yang telah banyak memberikan motivasi dan dukungan.
17. Kepada semua pihak yang telah memberikan bantuan. Dalam penyusunan skripsi ini. Penulis menyadari masih banyak kekurangan dan kelemahan akibat terbatasnya kemampuan penulis.

Akhir kata penulis mengucapkan banyak terima kasih kepada semua pihak, semoga skripsi ini bermanfaat bagi penulis dan semua orang yang membacanya.  
Amin ya Robbal alamin,

**Gowa, 26 Januari 2017**

**Penulis**

**(LISA MARLISA SYAM)**

**DAFTAR ISI**

HALAMAN SAMBUNG .....	i
PERNYATAAN KEASLIAN SKRIPSI .....	ii
PENGESAHAN SKRIPSI .....	iii
KATA PENGANTAR .....	iv
DAFTAR ISI .....	viii
DAFTAR TABEL .....	x
DAFTAR GAMBAR .....	xi
DAFTAR LAMPIRAN.....	xiii
ABSTRAK .....	xiv
ABSTRACT .....	xv
<b>BAB I PENDAHULUAN</b>	
1.1 Latar Belakang .....	1
1.2 Rumusan Masalah.....	3
1.3 Tujuan Penelitian .....	4
1.4 Ruang Lingkup Penelitian.....	4
1.5 Manfaat Penelitian .....	5
<b>BAB II TINJAUAN TEORETIS</b>	
2.1 Nanopartikel .....	6
2.2 Magnetite (Fe <sub>3</sub> O <sub>4</sub> ) .....	8
2.3 Elektrokimia .....	12
2.4 X-Ray Diffraction (XRD) .....	23



2.5 Struktur Kristal .....	18
2.6 Scanning Elektron Microscopy (SEM) .....	25
<b>BAB III METODOLOGI PENELITIAN</b>	
3.1 Waktu dan Tempat.....	28
3.2 Alat dan Bahan.....	28
3.3 Prosedur Penelitian .....	29
3.4 Teknik Analisis Data Lapangan.....	31
3.5 Bagan Alir Penelitian .....	32
<b>BAB IV HASIL PENELITIAN DAN PEMBAHASAN</b>	
4.1 Pembuatan Nanopartikel Magnetite ( $\text{Fe}_3\text{O}_4$ ) .....	34
4.2 Hasil Uji Struktur Kristal Bahan Nanopartikel Magnetite ( $\text{Fe}_3\text{O}_4$ ) .....	37
4.3 Karakteristik Morfologi Nanopartikel Magnetite ( $\text{Fe}_3\text{O}_4$ ) dengan Menggunakan Scanning Electron Microscopy (SEM) .....	43
4.4 Kesesuaian hasil XRD dan SEM .....	46
<b>BAB V PENUTUP</b>	
5.1 Kesimpulan .....	48
5.2 Saran .....	48
DAFTAR PUSTAKA .....	50
RIWAYAT HIDUP .....	52

## DAFTAR TABEL

Tabel 2.1 : Tujuh sistem kristal .....	19
Tabel 4.1 : Hasil uji analisis karakteristik nanopartikel menggunakan XRD.....	42

**DAFTAR GAMBAR**

Gambar 2.1 : Contoh nanopartikel.....	7
Gambar 2.2 : Metode elektrokimia.....	12
Gambar 2.3 : Alat XRD .....	16
Gambar 2.4 : Prinsip kerja XRD .....	17
Gambar 2.5 : Grafik contoh analisis sampel dari uji XRD .....	18
Gambar 2.6 : Sumbu-sumbu dan sudut antar sumbu kristal .....	19
Gambar 2.6 : Sistem kubik .....	20
Gambar 2.7 : Sistem monoklinik .....	21
Gambar 2.8 : Sistem triklinik .....	21
Gambar 2.9 : Sistem tetragonal .....	22
Gambar 2.10 : Sistem orthorhombik .....	23
Gambar 2.11 : Sistem trigonal .....	23
Gambar 2.12 : Sistem hexagonal .....	24
Gambar 2.13 : Scanning electron microscopy (SEM) .....	25
Gambar 2.14 : Diagram skematik fungsi dasar kerja SEM .....	26
Gambar 3.2 : Grafik contoh analisis sampel dari uji XRD .....	32
Gambar 4.1 : Hubungan intensitas dan $2\theta$ dengan voltase 10 dan 5 volt.....	38
Gambar 4.2 : Hubungan intensitas dan $2\theta$ dengan voltase 15 dan 5 volt.....	39

Gambar 4.3 : Hubungan intensitas dan $2\theta$ dengan voltase 10 volt.....	40
Gambar 4.4 : Hubungan intensitas dan $2\theta$ dengan voltase 15 volt.....	41
Gambar 4.5 : Hasil morfologi SEM untuk perlakuan 5 volt .....	43
Gambar 4.6 : Hasil morfologi SEM untuk perlakuan 10 volt .....	38
Gambar 4.7 : Hasil morfologi SEM untuk perlakuan 15 volt.....	38

**DAFTAR LAMPIRAN**

Lampiran 1 : Data Hasil Penelitian Pengujian Awal Kandungan Besi.....	L.1
Lampiran 2 : Data Hasil Penelitian XRD dan SEM .....	L.5
Lampiran 3 : Dokumentasi Foto Penelitian .....	L.15
Lampiran 4 : Dokumentasi Persuratan Penelitian .....	L.24
Lampiran 5 : SK Pembimbing .....	L.26

**ABSTRAK**

**Nama** : Lisa Marlisa Syam  
**Nim** : 60400112081  
**Judul** : **UJI KARAKTERISTIK NANOPARTIKEL MAGNETITE (Fe<sub>3</sub>O<sub>4</sub>) MENGGUNAKAN X-RAY DIFFRACTION DAN SCANNING ELECTRON MICROSCOPY.**

---

---

Penelitian ini bertujuan untuk mengetahui proses pembuatan nanopartikel magnetite (Fe<sub>3</sub>O<sub>4</sub>) dan mengetahui struktur kristal dan bentuk morfologinya. Metode yang digunakan pada penelitian ini adalah metode elektrokimia yang didasarkan pada variasi sumber tegangan. Penelitian ini menggunakan pengujian *X-Ray Diffraction* (XRD) dan pengujian *Scanning Electron Microscopy* (SEM). Berdasarkan hasil penelitian yang telah dilakukan, diperoleh hasil pada voltase 10 volt dan 15 volt masing-masing karakteristik struktur kristal berbentuk kubik, sudut berkas sinar datang yang ditembakkan masing-masing 35,38<sup>0</sup> dan 35,33<sup>0</sup>, nilai densitas sama yaitu 5,179 gr/cm<sup>3</sup>, jarak antara atom diperoleh rata-rata 2,5383 Å<sup>0</sup>, sel satuannya masing-masing 8,4 Å<sup>0</sup>. Namun terdapat perubahan intensitas dalam cps (cacah persekon) berbeda, yakni untuk 10 volt sebesar 625,22 cps dan 15 volt sebesar 988,92, sedangkan bentuk morfologi yang dihasilkan adalah bulat padatan mengikat (*spherical*).

*Kata Kunci: magnetite nanopartikel, XRD, SEM, spherical.*

## ABSTRACT

**Nama** : Lisa Marlisa Syam  
**Nim** : 60400112081  
**Judul** : **TEST CHARACTERISTICS magnetite nanoparticles (Fe<sub>3</sub>O<sub>4</sub>)  
USING X-Ray Diffraction AND Scanning Electron Microscopy.**

---

---

This study aims to determine the process of making nanoparticles of magnetite (Fe<sub>3</sub>O<sub>4</sub>) and determine the crystal structure and shape its morphology. The method used in this study is an electrochemical method which is based on the variation of the voltage source. This study using a test X-Ray Diffraction (XRD) and testing of Scanning Electron Microscopy (SEM). Based on the research that has been done, the results obtained in the voltage 10 volts and 15 volts each characteristic crystal structure cubic, beam angle of the incident light is fired each 35.380 and 35.330, the density at which 5,179 gr / cm<sup>3</sup>, the distance between atoms obtained an average of 2.5383 Å, each unit cell Å 8.4. But there is a change of intensity in cps (count per second) is different, namely to 625.22 cps at 10 volts and 15 volts at 988.92, while the resulting morphology is spherical solids bind (spherical).

*Keywords: magnetite nanoparticles, XRD, SEM, spherical.*

# **BAB I**

## **PENDAHULUAN**

### **1.1 Latar Belakang**

Nanoteknologi telah menarik perhatian yang besar dari para ilmuwan diseluruh dunia, dan saat ini merupakan bidang riset yang populer. Nanoteknologi adalah ilmu dan rekayasa dalam penciptaan material, struktur fungsional, maupun piranti dalam skala nanometer (Abdullah, M, 2010).

Inovasi teknologi yang banyak menarik perhatian saat ini adalah nanoteknologi, nanoteknologi dan nanosains merupakan kajian ilmu rekayasa material dalam skala nanometer. Salah satu bagian nanoteknologi yang merupakan aspek penting adalah nanopartikel karena sudah diaplikasikan dalam berbagai hal. Beberapa tahun terakhir ini memang sangat banyak ilmuan-ilmuan yang tertarik meneliti tentang nanopartikel karena sifatnya yang terkenal, sangat potensial dan aplikasinya di berbagai bidang. Seperti fluida dan gel magnetik, katalis, pigmen pewarna dan diagnosa medik. Salah satu material nanopartikel yang saat ini sedang dikembangkan adalah magnetite ( $\text{Fe}_3\text{O}_4$ ). Nanopartikel sangat berperan penting dalam ilmu pengetahuan maupun teknologi. Nanopartikel memiliki ukuran partikel yang sangat kecil yaitu 1-100 nm, sehingga nanopartikel memiliki karakteristik fisika, kimia dan biologi yang unik yang jauh berbeda dari material yang ukurannya besar (Abdullah, M, 2010).



Perkembangan nanoteknologi sudah sangat pesat, baik penerapannya dalam ilmu sains maupun dalam bidang komersial. Salah satu pengembangan nanoteknologi adalah dalam bidang nanopartikel magnetik. Nanopartikel magnetite memiliki sifat fisis yang unik, salah satunya terkait dengan sifat kemagnetan yang dimiliki. Sifat magnetiknya sebagian besar dipengaruhi oleh morfologi, ukuran, karakteristik fisika dari partikel tunggal, dan interaksi antarmuka. Selain itu luas permukaan partikel yang besar juga menjadi salah satu keunggulan nanopartikel magnetik sehingga memiliki kapasitas besar untuk mengadsorpsi ion logam berat.

Salah satu nanopartikel yang sedang dikembangkan yaitu nanopartikel magnetite ( $\text{Fe}_3\text{O}_4$ ) yang sintesisnya telah dikembangkan dengan menggunakan berbagai macam metode baik konvensional (*kopresipitasi*) maupun inovatif (sol-gel, hidrotermal dan elektrokimia). Banyak metode yang telah digunakan untuk pembuatan  $\text{Fe}_3\text{O}_4$  yang halus dan homogen diantaranya metode *kopresipitasi*, sol gel, *solid state* dan lainnya. Setiap metode memiliki kelemahan dan kekurangan sendiri, namun semua telah terbukti dapat digunakan untuk membuat nanopartikel magnetite  $\text{Fe}_3\text{O}_4$ . Dalam penelitian ini metode yang digunakan yaitu metode elektrokimia. Metode elektrokimia digunakan karena mudah untuk dipahami, alat yang dibutuhkan metode elektrokimia mudah didapatkan, selain itu metode elektrokimia merupakan metode yang lebih murah dibanding metode yang lain.

Nanopartikel beberapa tahun terakhir telah banyak diteliti oleh ilmuwan-ilmuwan di beberapa negara maju, karena sifat yang menarik dan aplikasinya

diberbagai bidang. Selain ilmuwan-ilmuan banyak juga beberapa mahasiswa yang tertarik meneliti karena ingin membuktikan aplikasi yang nyata nanopartikel.

Nanoteknologi mengacu secara luas pada aplikasi bidang sains dan teknologi dengan tema kendali tingkat molekul dalam skala kecil. Nanoteknologi dapat dilihat sebagai perluasan sains ke dalam skala nano. Nanoteknologi meliputi proses, pemisah, perubahan bentuk dari material oleh satu atom dan satu melekul.

Aplikasi nanopartikel magnetit banyak digunakan untuk mengatasi masalah pencemaran lingkungan. Salah satunya sebagai absorben penyerapan logam berat. Aplikasi ini menarik perhatian besar karena lebih murah dari sisi biaya, lebih efisien waktu, mudah diproduksi serta terbukti mampu menanggulangi pencemaran air oleh logam berat.

Untuk menghasilkan nanopartikel yang efisien digunakan untuk menyerap logam maka dalam penelitian ini telah diteliti tentang karakteristik nanopartikel kemudian dilanjutkan dengan aplikasi nanopartikel magnetite ( $\text{Fe}_3\text{O}_4$ ) secara elektrokimia. Nanopartikel yang dihasilkan selanjutnya dikarakterisasi dengan menggunakan difraktometer sinar-X (XRD) demikian sehingga dapat diketahui serta mampu diidentifikasi fasanya. Selain itu telah diuji pula penentuan morfologi dengan menggunakan (SEM).

## 1.2 Rumusan Masalah

Rumusan masalah yang telah diuji pada penelitian ini adalah:

1. Bagaimana proses mensintesis nanopartikel magnetite ( $\text{Fe}_3\text{O}_4$ ) dengan metode elektrokimia?
2. Bagaimana karakteristik struktur kristal pada nanopartikel magnetite ( $\text{Fe}_3\text{O}_4$ ) dengan menggunakan *X-ray diffraction*?
3. Bagaimana karakteristik bentuk morfologi nanopartikel magnetite ( $\text{Fe}_3\text{O}_4$ ) dengan menggunakan SEM (*Scanning Electron Microscopy*)?

## 1.3 Tujuan Penelitian

Tujuan penelitian ini adalah untuk:

1. Mengetahui proses mensintesis nanopartikel magnetite ( $\text{Fe}_3\text{O}_4$ ) dengan metode elektrokimia.
2. Mengetahui karakteristik struktur kristal pada nanopartikel magnetite ( $\text{Fe}_3\text{O}_4$ ) dengan menggunakan XRD (*X-ray diffraction*).
3. Mengetahui karakteristik bentuk morfologi nanopartikel magnetite ( $\text{Fe}_3\text{O}_4$ ) dengan menggunakan SEM (*Scanning Electron Microscopy*).

## 1.4 Ruang Lingkup Penelitian

Guna menghasilkan kapasitas penelitian yang baik, maka lingkup yang dikaji dalam penelitian ini adalah:

1. Penelitian ini terbatas pada proses pengujian mensintesis nanopartikel magnetite ( $\text{Fe}_3\text{O}_4$ ) dengan metode elektrokimia.

2. Penelitian ini telah dilakukan pengujian struktur kristal pada nanopartikel magnetite ( $\text{Fe}_3\text{O}_4$ ) dengan menggunakan *X-ray diffraction*.
3. Pengujian bentuk morfologi nanopartikel magnetite ( $\text{Fe}_3\text{O}_4$ ) telah dilakukan dengan menggunakan SEM (*Scanning Electron Microscopy*).

#### **1.4 Manfaat Penelitian**

Dengan melakukan penelitian ini dapat memberi manfaat yaitu sebagai bahan informasi untuk mahasiswa UIN Alauddin Jurusan Fisika khususnya tentang karakteristik nanopartikel, sifat fisik dan manfaat nanopartikel untuk ke depannya. Manfaat kepada masyarakat yaitu bahan nanopartikel ini dapat menarik (menyerap) logam berat yang terdapat pada air lindi (air limbah) diberbagai daerah. Penyerapan logam berat yang telah dilakukan pada penelitian ini sangat besar dimana limbah buatan sebesar 200 ppm dan menggunakan nanopartikel magnetite ( $\text{Fe}_3\text{O}_4$ ) sebanyak 0,125 gram untuk menyerap kandungan logam berat pada limbah buatan tersebut. Dan nanopartikel magnetite ( $\text{Fe}_3\text{O}_4$ ) dapat menyerap 99,94 % logam berat yang terdapat pada limbah buatan yang adas.

## **BAB II**

### **TINJAUAN TEORETIS**

#### **2.1 Nanopartikel**

Nanopartikel didefinisikan sebagai partikel-partikel padatan dengan ukuran partikel berkisar 1 – 100 nm. Material nanopartikel telah banyak menarik peneliti karena material nanopartikel menunjukkan sifat fisika dan kimia yang sangat berbeda dari *bulk* materialnya seperti kekuatan mekanik, elektronik, magnetik, kestabilan termal, katalitik dan optik.

Ada dua hal utama yang membuat nanopartikel berbeda dengan material sejenis dalam ukuran besar yaitu (Abdullah, dkk., 2008):

1. karena ukurannya yang kecil, nanopartikel memiliki nilai perbandingan antara luas permukaan dan volume yang lebih besar jika dibandingkan dengan partikel sejenis dalam ukuran besar. Ini membuat nanopartikel bersifat lebih reaktif. Reaktivitas material ditentukan oleh atom-atom di permukaan, karena hanya atom-atom tersebut yang bersentuhan langsung dengan material lain.
2. ketika ukuran partikel menuju orde nanometer, hukum fisika yang berlaku lebih didominasi oleh hukum-hukum fisika kuantum.

Nanopartikel magnetite memiliki sifat fisis yang unik, salah satunya terkait dengan sifat kemagnetan yang dimiliki. Sifat magnetiknya sebagian besar dipengaruhi oleh morfologi, ukuran, karakteristik fisika dari partikel tunggal dan

interaksi antarmuka. Selain itu luas permukaan partikel yang besar juga menjadi salah satu keunggulan nanopartikel magnetik sehingga memiliki kapasitas besar untuk mengadsorpsi ion logam berat.



Gambar 2.1 : Contoh Nanopartikel  
(Sumber: Abdullah, dkk., 2008)

Sifat-sifat yang berubah pada nanopartikel berkaitan dengan fenomena kuantum dan perubahan rasio jumlah atom yang menempati permukaan terhadap jumlah total atom. Fenomena kuantum mengakibatkan keterbatasan ruang gerak elektron dan pembawa muatan lainnya dalam partikel yang berdampak pada beberapa sifat material seperti perubahan warna yang dipancarkan, transparansi, kekuatan mekanik, konduktivitas listrik dan magnetisasi. Sedangkan perubahan rasio jumlah atom yang menempati permukaan terhadap jumlah total atom berakibat pada perubahan titik didih, titik beku dan reaktivitas kimia. Perubahan-perubahan tersebut dapat menjadi keunggulan nanopartikel dibandingkan dengan partikel sejenis dalam keadaan *bulk* (Abdullah, dkk., 2008).

Nanopartikel dapat disintesis dalam fase padat, cair maupun gas secara fisika maupun kimia. Proses sintesis nanopartikel secara fisika tidak melibatkan reaksi kimia, melainkan dengan cara pemecahan material besar menjadi material berukuran nanometer atau dengan penggabungan material *kluster* menjadi material berukuran nanometer tanpa mengubah sifat bahan. Proses sintesis nanopartikel secara kimia melibatkan reaksi kimia dari sejumlah material awal (*precursor*) sehingga menghasilkan material lain yang berukuran nanometer (Abdullah, dkk., 2008).

## 2.2 Magnetite (Fe<sub>3</sub>O<sub>4</sub>)

Magnetit adalah mineral dan salah satu yang umum tiga oksida yang terjadi secara alamiah besi. Rumus kimianya adalah Fe<sub>3</sub>O<sub>4</sub>, dan itu adalah anggota dari kelompok spinel. Magnetit adalah yang paling magnetik semua mineral yang terjadi secara alamiah di bumi. Pada dua dekade terakhir, ahli biomaterial mulai mempelajari material-material anorganik untuk diaplikasikan. Magnetite (Fe<sub>3</sub>O<sub>4</sub>) adalah senyawa yang paling menjanjikan diberbagai bidang. Magnetite merupakan salah satu jenis oksida besi yang paling umum dikenal dan terdapat cukup banyak di alam. Sesuai namanya, senyawa ini bersifat magnet (magnet alam pertama yang ditemukan manusia). Strukturnya sangat unik, yaitu spinel terbalik karena sebenarnya senyawa ini merupakan gabungan dari dua oksida besi yaitu FeO dan Fe<sub>2</sub>O<sub>3</sub> yang dihubungkan oleh jembatan oksigen. Struktur seperti ini menghasilkan resultan momen magnet yang nyata serta kemampuan untuk transfer elektron ke ion tetangga secara simultan.

Magnetite (Fe<sub>3</sub>O<sub>4</sub>) merupakan salah satu oksida besi selain maghemit ( $\gamma$ -Fe<sub>2</sub>O<sub>3</sub>) dan hematit ( $\alpha$ -Fe<sub>2</sub>O<sub>3</sub>) yang menunjukkan kemagnetan paling kuat diantara

oksida-oksida besi yang lain sehingga banyak dimanfaatkan diberbagai bidang. Magnetite menunjukkan banyak manfaat yang semakin luas dengan sifat kemagnetan yang kuat dengan skala nanometer. Salah satu sifatnya adalah sebagai pengikat kuat logam berat yang terkandung dalam air limbah. Daya serapnya yang besar terhadap logam didukung oleh luas permukaannya yang besar serta kemampuan merespon medan magnet sehingga memudahkan proses pemisahan adsorben dari larutan.

Sintesis nanopartikel magnetit telah dikembangkan dengan berbagai metode, baik konvensional (seperti *kopresipitasi*) maupun inovatif (misalkan solgen, hidrotermal dan elektrokimia).

Semua fakta ini merupakan salah satu bukti bahwa ayat-ayat kauniyah (hukum-hukum Allah swt di Jagat Raya) bersesuaian dengan ayat-ayat qauliyah (firman Allah swt), seperti yang telah dijelaskan dalam surah QS. al-Hadid/ 57: 25 yaitu:

لَقَدْ أَرْسَلْنَا رُسُلَنَا بِالْبَيِّنَاتِ وَأَنْزَلْنَا مَعَهُمُ الْكِتَابَ وَالْمِيزَانَ لِيَقُومَ النَّاسُ بِالْقِسْطِ  
وَأَنْزَلْنَا الْحَدِيدَ فِيهِ بَأْسٌ شَدِيدٌ وَمَنْفَعٌ لِلنَّاسِ وَلِيَعْلَمَ اللَّهُ مَنْ يَنْصُرُهُ وَرُسُلَهُ بِالْغَيْبِ إِنَّ  
اللَّهَ قَوِيٌّ عَزِيزٌ ﴿٢٥﴾

Terjemahnya:

Sesungguhnya Kami telah mengutus Rasul-rasul Kami dengan membawa bukti-bukti yang nyata dan telah Kami turunkan bersama mereka Al kitab dan neraca (keadilan) supaya manusia dapat melaksanakan keadilan. dan Kami ciptakan besi yang padanya terdapat kekuatan yang hebat dan berbagai manfaat bagi manusia, (supaya mereka mempergunakan besi itu) dan supaya Allah mengetahui siapa yang menolong (agama)-Nya dan rasul-rasul-Nya Padahal Allah tidak dilihatnya. Sesungguhnya-Nya Allah Maha kuat lagi Maha Perkasa (Kementrian Agama R.I, 2013: 832).



Dalam Tafsir al-Muntakhab dalam (Shihab, 2002: 305), dijelaskan bahwa kata dan kami turunkan, yakni ciptakan, juga besi yang padanya terdapat kekuatan yang hebat, antara lain dapat dijadikan alat untuk melawan kezaliman dan berbagai manfaat lain bagi kebutuhan dan kenyamanan hidup manusia. Dalam Tafsir al-Muntakhab, dikemukakan antara lain bahwa ayat ini menjelaskan bahwa besi mempunyai kekuatan yang dapat membahayakan dan dapat pula menguntungkan bagi umat manusia. Bukti paling kuat tentang hal ini adalah bahwa lempeng besi, dengan berbagai macamnya, secara singkat mempunyai keistimewaan dalam bertahan menghadapi panas, tarikan, kekaratan dan kerusakan, di samping itu juga lentur hingga dapat menampung daya magnet. Karenanya besi adalah logam paling cocok untuk bahan senjata dan peralatan perang, bahkan merupakan bahan baku berbagai macam industri berat dan ringan yang dapat menunjang kemajuan peradaban.

Berdasarkan ayat di atas dijelaskan bahwa, kata “*anzalnaa*” yang berarti “kami ciptakan” sedangkan secara ilmiah kata “*anzalnaa*” berarti “kami turunkan. hal ini berdasarkan hasil penemuan para Astronom yang menyatakan bahwa, besi sebenarnya tidak diciptakan melainkan diturunkan dari luar angkasa, sebagaimana yang telah dilakukan oleh peneliti Inggris yang menyatakan bahwa, logam berat yang terdapat pada besi dihasilkan dari inti-inti bintang yang memiliki ukuran raksasa. Hal ini disebabkan karena sistem tata surya tidak memiliki struktur yang cocok untuk menghantam besi, sehingga besi ini hanya dapat dihasilkan dari bintang-bintang yang memiliki ukuran yang jauh lebih besar dari matahari yang suhunya mencapai ratusan juta derajat.

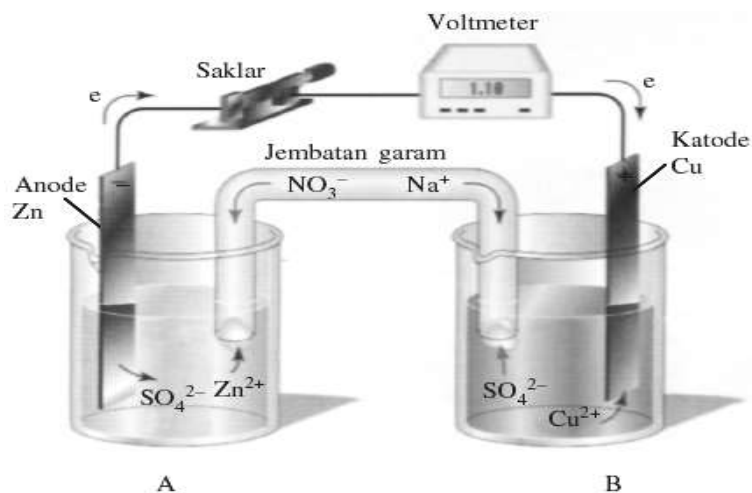
Ketika jumlah besi yang terdapat pada bintang-bintang sudah melewati batas ambang atau batas tertentu maka terjadilah ledakan melalui peristiwa “supernova”. Akibat dari ledakan tersebut, material-material yang mengandung besi bertaburan di seluruh penjuru alam semesta dan bergerak dalam ruang hampa hingga mengalami tarikan oleh gaya gravitasi bumi. Material-material inilah yang kemudian ditemukan dalam bentuk bijih besi yang dapat dimanfaatkan oleh manusia hingga sekarang.

Pada ayat tersebut juga terdapat kata “ *fiihi ba’sun syadidun*” yang berarti “memiliki kekuatan yang hebat” dalam konteks agama, memang benar besi memiliki kekuatan yang hebat karena dapat dijadikan sebagai bahan baku dalam pembuatan alat perang. Hal ini sesuai dengan penjelasan Allah swt, bahwa ayat besi ini diturunkan pada masa Perang Uhud, dimana Allah swt. memerintahkan kepada manusia untuk membuat pedang dan alat perang lainnya dari besi.

### **2.3 Elektrokimia**

Elektrokimia merupakan suatu proses reaksi kimia yang menghasilkan arus listrik atau sebaliknya. Energi listrik diperoleh dari hasil reaksi kimia berupa reaksi redoks yang berlangsung spontan. Dalam reaksi redoks terjadi transfer atau perpindahan elektron dari suatu unsur ke unsur yang lain. Aliran elektron ini menunjukkan adanya aliran arus listrik. Sel elektrokimia dibedakan menjadi dua, yaitu: sel elektrolisis dan sel volta. Dalam sel elektrolisis aliran listrik menyebabkan berlangsungnya suatu reaksi kimia. Katoda merupakan kutub negatif, sedangkan anoda kutub positif. Dalam sel volta reaksi kimia yang berlangsung bersifat spontan

dan menghasilkan arus listrik. Katoda merupakan kutub positif dan anoda merupakan kutub negatif (Sutresna, 2007).



Gambar 2.2 : Metode elektrokimia  
(Sumber: Sutresna, 2007)

### 2.3.1 Elektrolisis

Merupakan sel dimana energi listrik digunakan untuk berlangsungnya suatu reaksi kimia. Energi e.m.f yang diperlukan untuk berlangsungnya proses ini akan sedikit lebih tinggi dari pada e.m.f yang dihasilkan oleh reaksi kimia yang didapat dari lingkungannya.

### 2.3.2 Elektroplating

Merupakan proses pelapisan logam dengan logam lain di dalam suatu larutan elektrolit dengan pemberian arus listrik. Konsep yang digunakan dalam proses elektroplating adalah konsep reaksi reduksi dan oksidasi dengan menggunakan sel

elektrolisis. Dalam sel elektrolisis arus yang dialirkan akan menimbulkan reaksi reduksi dan oksidasi dengan mengubah energi listrik menjadi energi kimia.

Proses pelapisan terjadi jika suatu benda yang telah dilapisi berfungsi sebagai katoda dan benda pelapis sebagai anoda dicelupkan kedalam larutan elektrolit dengan konsentrasi tertentu, selanjutnya arus dialirkan ke dalam larutan tersebut maka ion-ion pada anoda akan terurai ke dalam larutan dan akan melapisi benda yang akan berfungsi sebagai katoda. Proses pelapisan ini dapat terjadi karena lepasnya elektron dari atom-atom yang kemudian masuk ke dalam larutan sebagai ion-ion. Banyaknya ion yang diuraikan tergantung dari besarnya arus yang dialirkan. Semakin besar arus yang dialirkan semakin banyak ion yang diuraikan begitu pula sebaliknya (Widodo, dkk, 2014).

Menurut (Widodo, dkk, 2014) hukum yang berkaitan langsung dengan proses elektroplating adalah hukum faraday yang berbunyi:

1. Jumlah logam yang terbentuk pada elektroda suatu sel, sebanding dengan arus yang mengalir.
2. Jumlah logam yang dihasilkan oleh arus listrik yang sama di dalam sel yang berbeda sebanding dengan berat ekuivalen logam tersebut.
3. Bila efisiensi arus 100 % maka berat logam yang diendapkan berbanding lurus dengan arus yang mengalir melalui larutan dan sebanding dengan berat ekuivalen logam dan waktu elektroplating.

## 2.4 X-Ray Diffraction (XRD)

X-Ray Diffraction (XRD) merupakan salah satu metode karakteristik material yang paling tua dan paling sering digunakan hingga sekarang. Teknik ini digunakan untuk mengidentifikasi fasa kristalin dalam material dengan cara menentukan parameter struktur kisi serta untuk mendapatkan ukuran partikel. Bahan yang dianalisis tanah halus, *homogenized* dan rata-rata komposisi massal ditentukan (Ratnasari, 2009: 3).

Hasil dari penembakan logam dengan elektron energi tertinggi dengan karakterisasi tersebut sinar-X mampu menembus zat padat sehingga dapat digunakan untuk menentukan struktur kristal. Hamburan sinar ini dihasilkan bila suatu elektron logam ditembak dengan elektron-elektron berkecepatan tinggi dalam tabung hampa udara (Beiser, 1992: 48).

Peristiwa pembentukan sinar-X dapat dijelaskan yaitu pada saat menumbuk logam, elektron yang berasal dari katoda (elektron datang) menembus kulit atom dan mendekati kulit inti atom. Pada waktu mendekati inti atom, elektron ditarik mendekati inti atom yang bermuatan positif, sehingga lintasan elektron berbelok dan kecepatan elektron berkurang atau diperlambat. Karena perlambatan ini, maka energi elektron berkurang. Energi yang hilang ini dipancarkan dalam bentuk sinar-X. Proses ini dikenal sebagai proses *bremstrahlung*.



Gambar 2.3 : Alat XRD  
(Sumber: Dokumentasi Pribadi)

Pada waktu material dikenai sinar X, maka intensitas sinar yang ditransmisi lebih rendah dari intensitas sinar datang. Hal ini disebabkan adanya penyerapan oleh material dan juga penghamburan oleh atom-atom dari material tersebut. Berkas sinar-X yang dihamburkan tersebut ada yang saling menghilangkan karena fasanya berbeda dan ada juga yang saling menguatkan karena fasanya sama. Berkas sinar-X yang saling menguatkan itulah disebut sebagai berkas difraksi.

Difraktometri sinar-X merupakan metode karakterisasi material yang digunakan untuk mengidentifikasi fasa kristalin dalam material dengan cara menentukan parameter struktur kisi untuk mendapatkan ukuran partikel. Instrumen difraktometer sinar-X digunakan untuk mengidentifikasi cuplikan berupa kristal dengan memanfaatkan radiasi gelombang elektromagnetik sinar-X. Hasil yang diperoleh berupa intensitas relatif dan sudut hamburan. Hamburan sinar-X berasal

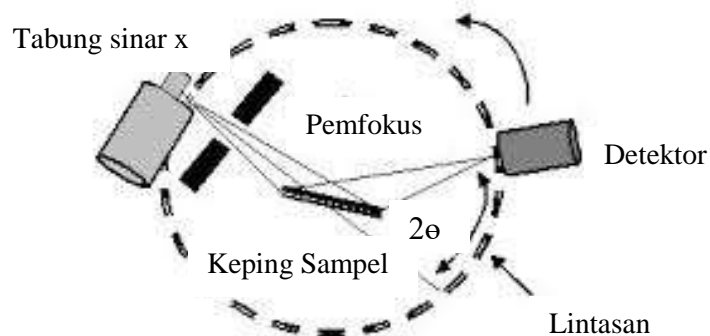
dari atom-atom yang berbentuk bidang kisis dari cuplikan yang diamati (Ghozali, 2010 dalam Maylani, 2015).

Eksperimen difraksi sinar-X pertama kali dilakukan pada tahun 1921 oleh Friederich, Kniping dan Von Laue, dengan menggunakan susunan eksperimental. Sinar-X yang dihamburkan membentuk sebuah pola interferensi pada film fotografik berupa sebuah potret dan pola. Eksperimen ini membuktikan bahwa sinar-X adalah gelombang atau setidaknya bersifat menyerupai gelombang dan juga bahwa atom-atom adalah sebuah kristal yang disusun dalam sebuah pola yang teratur. Sejak itu, difraksi sinar-X telah terbukti sebagai sebuah alat penelitian yang sangat penting untuk mengukur panjang gelombang sinar-X dan untuk mengukur struktur kristal (Young, 2004).

### **2.5.1 Prinsip Kerja X-Ray Diffraction (XRD)**

Prinsip kerja XRD secara umum adalah XRD terdiri dari tiga bagian utama, yaitu tabung sinar-X, tempat obyek sampel dan detektor sinar-X yang berisi katoda yang memanaskan filamen, sehingga menghasilkan elektron. Perbedaan tegangan menyebabkan percepatan elektron akan menembaki obyek. Ketika elektron mempunyai tingkat energi yang tinggi dan menabrak elektron dalam objek sehingga dihasilkan pancaran sinar-X. Objek dan detektor berputar untuk menangkap dan merekam intensitas refleksi sinar-X. Detektor merekam dan memproses sinyal sinar-X dan mengolahnya dalam bentuk grafik (Ratnasari, 2009: 3).

Salah satu teknik yang digunakan untuk menentukan struktur suatu padatan kristalin adalah dengan menggunakan metode difraksi sinar-X serbuk (*X-ray powder diffraction*) seperti pada gambar 2.4 berikut:

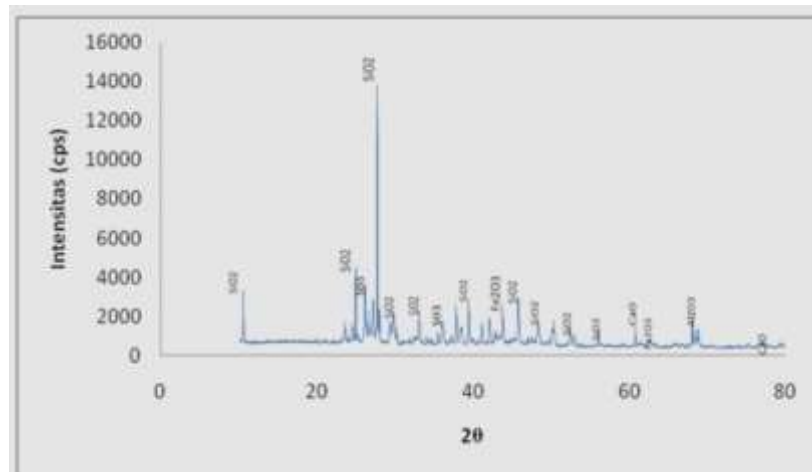


Gambar 2.4: Prinsip kerja X-ray diffraction (XRD)

(Sumber: Beiser, 1992)

Dari gambar 2.4 di atas dapat dijelaskan bahwa jika seberkas sinar-X ditembakkan pada sampel padatan kristalin, maka bidang kristal ini akan membiaskan sinar-X yang memiliki panjang gelombang yang sama dengan jarak kisi dalam kristal (memenuhi hukum Bragg). Kemudian sinar yang dibiaskan akan ditangkap oleh detektor, detektor selanjutnya akan mencatat puncak intensitas yang akan bersesuaian dengan orde pembiasan (orde- $n$ ) yang digunakan, yang kemudian akan ditampilkan dalam bentuk grafik yaitu grafik difraktogram yang merupakan grafik hubungan antara intensitas ( $cps$ ) dengan  $2\theta$ , yang dapat dilihat pada grafik berikut:



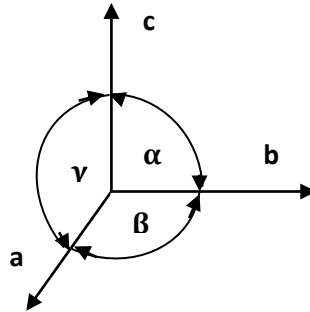


Gambar 2.5: Grafik contoh analisis sampel dari uji *XRD*  
(Sumber : Sania., dkk., 2014: 268)

Dari grafik 2.5 di atas, besarnya intensitas relatif dari deretan puncak-puncak tersebut bergantung pada jumlah atom atau ion yang ada dalam sampel. Semakin banyak bidang kristal yang terdapat dalam sampel, maka semakin kuat intensitas pembiasan yang dihasilkan. Dijelaskan bahwa setiap puncak yang muncul pada pola *XRD* mewakili satu bidang kristal yang memiliki orientasi tertentu dalam sumbu tiga dimensi.

## 2.8 Struktur Kristal

Susunan khas atom-atom dalam kristal disebut struktur kristal. Struktur kristal dibangun oleh sel satuan (*unit cell*). Sel satuan adalah bagian terkecil dari unit struktur yang dapat menjelaskan tentang struktur suatu kristal. Tiga sisi suatu sel satuan ini disebut sudut-sudut permukaan batas (antar permukaan) seperti yang diperlihatkan pada gambar 2.6, pengulangan dari sel satuan akan mewakili struktur yang ada secara keseluruhan (Fery, 2012: 13-14).



Gambar 2.6: Sumbu-sumbu dan sudut-sudut antar sumbu kristal  
(Sumber: Suwitra, 1989)

Sumbu-sumbu  $a$ ,  $b$  dan  $c$  adalah sumbu-sumbu yang dikaitkan dengan parameter kisi kristal. Sedangkan  $a$ ,  $\beta$ , dan  $\gamma$  merupakan sudut antar sumbu-sumbu referensi kristal. Berdasarkan sumbu-sumbu  $a$ ,  $b$ , dan  $c$  (kisi bidang) dan sudut  $a$ ,  $\beta$ , dan  $\gamma$  (kisi ruang), kristal dikelompokkan menjadi 7 sistem kristal (hubungan sudut satu dengan sudut yang lain) seperti pada tabel 2.2:

Tabel 2.2: Tujuh sistem kristal

Sistem kristal	Parameter kisi	Simbol
Kubik	$a = b = c$ $\alpha = \beta = \gamma = 90^\circ$	P I F
Monoklinik	$a = b \neq c$ $\alpha = \beta = 90^\circ \neq \gamma$	P C
Triklinik	$a \neq b \neq c$ $\alpha = \beta = \gamma \neq 90^\circ$	P
Tetragonal	$a = b \neq c$ $\alpha = \beta = \gamma = 90^\circ$	P I

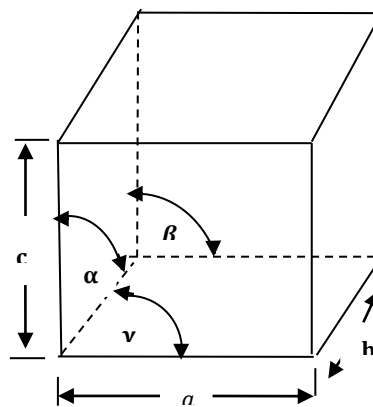
Orthorombik	$a \neq b \neq c$ $\alpha = \beta = \gamma = 90^\circ$	P C I F
Trigonal/ Rhombohedral	$a = b \neq c$ $\alpha = \beta = \gamma \neq 90^\circ > 120^\circ$	P
Heksagonal	$a = b \neq c$ $\alpha = \beta = 90^\circ, \gamma = 120^\circ$	P

(Sumber: Kittel, 1976).

Penjelasan dari tujuh sistem kristal di atas adalah berikut:

### 1. Sistem Kubik

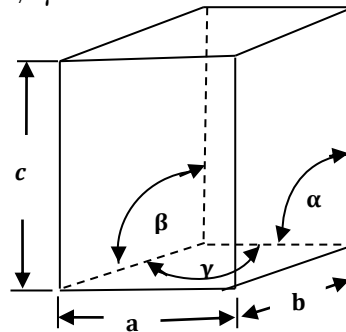
Sistem ini merupakan suatu sistem kristal kubus atau kubik, dengan jumlah sumbu kristalnya ada tiga dan saling tegak lurus satu dengan yang lainnya. Pada kondisi sebenarnya sistem kristal ini memiliki rasio perbandingan sumbu  $a = b = c$ , dengan sudut kristalografi  $\alpha = \beta = \gamma = 90^\circ$ . Hal ini berarti bahwa pada sistem ini semua sudut kristalnya ( $\alpha$ ,  $\beta$  dan  $\gamma$ ) tegak lurus satu sama lain membentuk sudut  $90^\circ$ .



Gambar 2.6: Sistem kubik  
(Sumber: Kittel, 1976)

## 2. Sistem Monoklinik

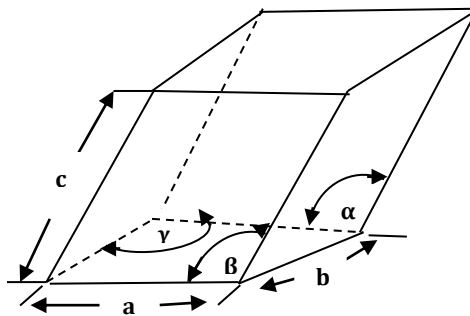
Sistem ini juga memiliki tiga sumbu, ketiga sumbu tersebut mempunyai panjang yang tidak sama yaitu sumbu  $b$  yang tidak sama dengan  $c$ , namun sumbu  $a$  tegak lurus terhadap sumbu  $b$ . Dengan rasio perbandingan sumbu  $a = b \neq c$ . Sudut kristalografi yaitu  $\alpha = \beta = 90^\circ \neq \gamma$ .



Gambar 2.7: Sistem monoklinik  
(Sumber: Kittel, 1976)

## 3. Sistem Triklinik

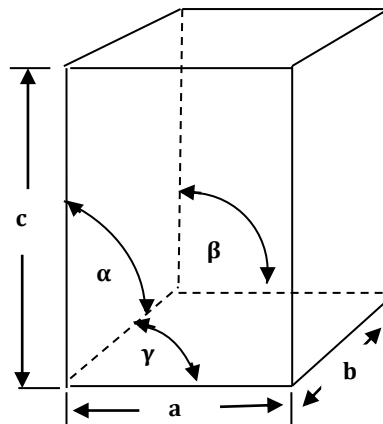
Sistem ini mempunyai tiga sumbu simetri yang satu dengan lainnya tidak saling tegak lurus. Demikian juga panjang masing-masing sumbunya tidak sama yaitu  $a \neq b \neq c$ , dan juga memiliki sudut kristalografi  $\alpha = \beta = \gamma \neq 90^\circ$ . Hal ini berarti bahwa pada sistem ini sudut  $\alpha$ ,  $\beta$  dan  $\gamma$  tidak saling tegak lurus satu dan yang lainnya.



Gambar 2.8: Sistem triklinik  
(Sumber: Kittel, 1976)

#### 4. Sistem Tetragonal

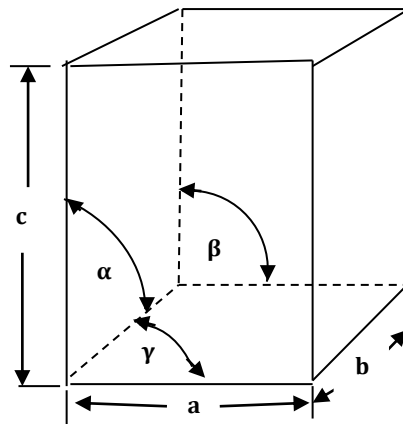
Sama dengan sistem kubik, sistem kristal ini mempunyai tiga sumbu kristal masing-masing saling tegak lurus. Sumbu a dan b mempunyai satuan panjang sama sedangkan sumbu c berlainan, dapat lebih pendek atau lebih panjang. Tapi umumnya lebih panjang. Pada kondisi sebenarnya perbandingan sumbu  $a = b \neq c$ , dengan sudut kristalografi  $\alpha = \beta = \gamma = 90^\circ$ .



Gambar 2.9: Sistem tetragonal  
(Sumber: Kittel, 1976)

#### 5. Sistem Orthorhombik

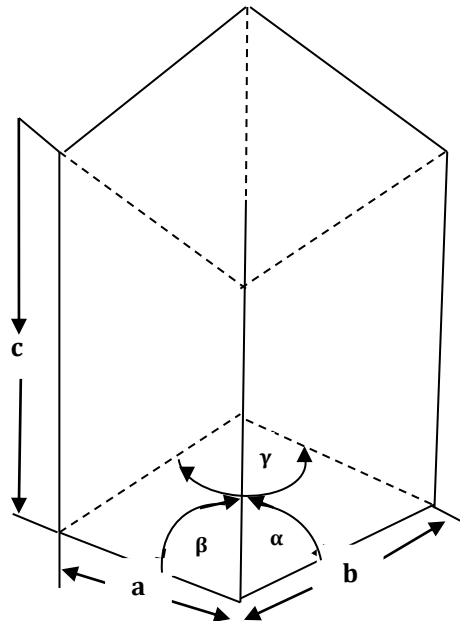
Sistem ini disebut juga sistem Rhombis dan mempunyai tiga sumbu simetri kristal yang saling tegak lurus satu dengan yang lainnya. Ketiga sumbu tersebut mempunyai panjang yang berbeda. Pada kondisi sebenarnya, sistem kristal Orthorhombik memiliki perbandingan sumbu  $a \neq b \neq c$ . Dan juga memiliki sudut kristalografi  $\alpha = \beta = \gamma = 90^\circ$ . Hal ini berarti bahwa pada sistem ini ketiga sudutnya saling tegak lurus ( $90^\circ$ ).



Gambar 2.10: Sistem Orthorhombik  
(Sumber: Kittel, 1976)

#### 6. Sistem Trigonal/ Rhombohedral

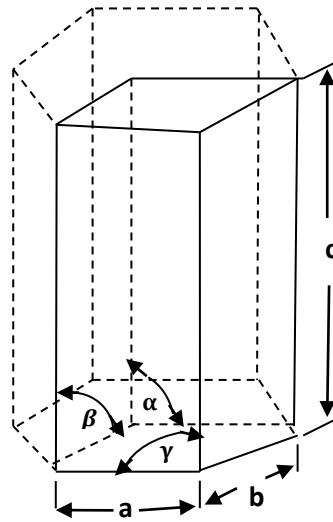
Trigonal memiliki rasio perbandingan sumbu  $a = b \neq c$ , yang artinya panjang sumbu a dan b sama, tapi tidak sama dengan sumbu c. Dan juga memiliki sudut kristalografi  $\alpha = \beta = \gamma \neq 90^\circ > 120^\circ$ . Hal ini berarti bahwa pada sistem ini sudut  $\alpha$  dan  $\beta$  saling tegak lurus dan membentuk sudut  $120^\circ$  terhadap sumbu  $\gamma$ .



Gambar 2.11: Sistem trigonal/ rhombohedral  
(Sumber: Kittel, 1976)

## 7. Sistem Hexagonal

Sistem ini mempunyai tiga sumbu kristal, dimana sumbu  $a$  dan  $b$  memiliki panjang yang sama. Sedangkan panjang sumbu  $c$  berbeda. Dapat lebih panjang atau lebih pendek (umumnya lebih panjang). Pada kondisi sebenarnya, sistem kristal hexagonal memiliki rasio perbandingan sumbu  $a = b \neq c$ . Dan juga memiliki sudut kristalografi  $\alpha = \beta = 90^\circ$ ;  $\gamma = 120^\circ$ . Hal ini berarti bahwa pada sistem ini sudut  $\alpha$  dan  $\beta$  saling tegak lurus dan membentuk sudut  $120^\circ$  terhadap sumbu  $\gamma$ .



Gambar 2.12: Sistem hexagonal  
(Sumber: Kittel, 1976)

Suatu kristal mempunyai banyak bidang kristal  $hkl$ . Tiap-tiap bidang  $hkl$  mempunyai jarak  $d_{hkl}$  tertentu, tergantung harga parameter kisi dan strukturnya. Jadi dengan adanya difraksi atau hamburan, bila struktur dan ukuran sel diketahui maka besarnya sudut hamburan dapat ditentukan. Sebaliknya bila posisi puncak pola difraksi dari suatu kristal diketahui, maka dapat ditentukan bentuk dan ukuran sel kristal tersebut (Hidayati, 1995: 8).

## 2.6 Mikroskop Pemindai Elektron (*Scanning Electron Microscopy*)

Mikroskop pemindai elektron digunakan dalam situasi yang membutuhkan pengamatan permukaan kasar dengan perbesaran berkisar antara 20-500.000 kali. Sebelum melalui lensa elektromagnetik terakhir scanning raster mendefleksikan berkas elektron untuk men-scan permukaan sampel. Hasil scan ini tersinkronisasi dengan tabung sinar katoda dan gambar sampel akan tampak pada area yang di-scan. Tingkat kontras yang tampak pada tabung sinar katoda timbul karena hasil refleksi yang berbeda-beda dari sampel (Anggraeni, 2008).

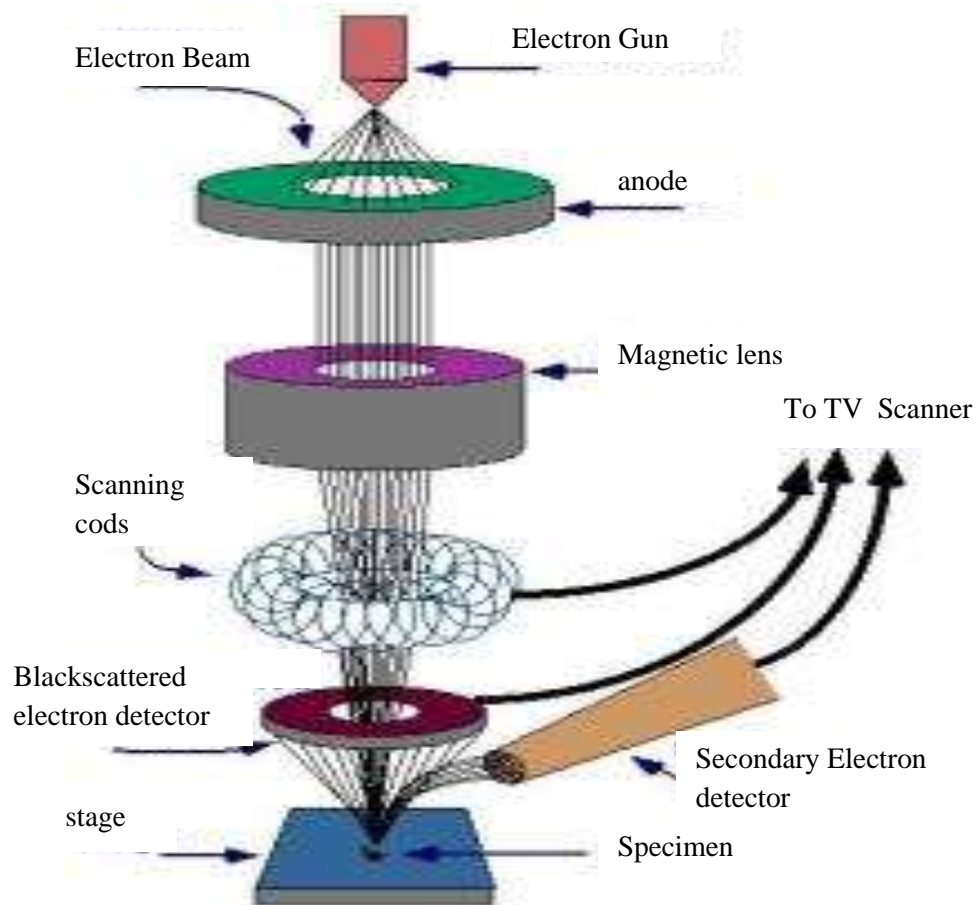


Gambar 2.13: Scanning Electron Microscopy (SEM)  
(Sumber: Anggraeni, 2008)

Prinsip kerja SEM adalah dengan menggambarkan permukaan benda atau material dengan berkas elektron yang dipantulkan dengan energi tinggi. Permukaan materi yang disinari atau terkena berkar elektron yang memantulkan kembali berkas elektron atau dinamakan berkas elektron sekunder ke segala arah. Tetapi dari semua



berkas elektron yang dipantulkan dengan intensitas tertinggi. Detektor yang terdapat di dalam SEM akan mendeteksi berkas elektron berintensitas tertinggi yang dipantulkan oleh benda atau material yang dianalisis. Selain itu juga dapat menentukan lokasi berkas elektron yang berintensitas tertinggi itu. Diagram skematik dan cara kerja SEM digambarkan sebagai berikut:



Gambar 2.14: Diagram skematik fungsi dasar dan cara kerja SEM (scanning electronmicroscopy)(sumber:[https://materialcerdas.files.wordpress.com/2009/06/se\\_mjp2.jpg?w=199&h=300](https://materialcerdas.files.wordpress.com/2009/06/se_mjp2.jpg?w=199&h=300))

Ketika dilakukan pengamatan terhadap material, lokasi permukaan benda yang ditembak dengan berkas elektron yang berintensitas tertinggi discan ke seluruh permukaan material pengamatan. Dengan memanfaatkan berkas pantulan dari benda tersebut maka informasi dapat diketahui dengan menggunakan program pengolah citra yang terdapat dalam komputer (Oktaviana, 2008).

## **BAB III**

### **METODOLOGI PENELITIAN**

#### **3.1 Waktu dan Tempat Penelitian**

Penelitian ini telah dilaksanakan pada bulan September 2016 - Januari 2017, bertempat di:

- a. Laboratorium Kimia-Fisika Fakultas Sains dan Teknologi, Universitas Islam Negeri (UIN) Alauddin Makassar: proses pembuatan nanopartikel magnetite ( $\text{Fe}_3\text{O}_4$ )
- b. Laboratorium XRD Sains Building Universitas Hasanuddin Makassar: pengujian struktur kristal menggunakan *X-Ray Diffraction* (XRD).
- c. Pusat Penelitian Nanosains dan Nanoteknologi Institut Teknologi Bandung: pengujian morfologi menggunakan *Scanning Electron Microscopy* (SEM).

#### **3.2 Alat dan Bahan Penelitian**

Alat yang digunakan dalam penelitian ini adalah *X-Ray Diffraction* (XRD), *Scanning Electron Microscopy* (SEM), oven, magnetik stirrer, *sentrifuge*, *shaker*, pH meter, power supply, multimeter, neraca analitik, 1 set alat peralatan gelas, gelas kimia 500 ml dan spatula.

Bahan yang digunakan dalam penelitian ini, yaitu aquades ( $\text{H}_2\text{O}$ ), elektroda karbon, besi (II) sulfat ( $\text{FeSO}_4 \cdot 7\text{H}_2\text{O}$ ), asam nitrat ( $\text{HNO}_3$ ) 0,01 M dan 1 N, kertas saring whatman no.41, lempengan besi dan natrium hidroksida ( $\text{NaOH}$ ) 0,01 M.

### 3.3 Prosedur Penelitian

Pada penelitian ini dilakukan dua tahap penelitian yaitu proses pembuatan nanopartikel magnetite ( $\text{Fe}_3\text{O}_4$ ) dan pengujian menggunakan *X-Ray Diffraction* (XRD) dan *Scanning Electron Microscopy* (SEM).

#### 3.2.1 Pembuatan Sampel

Sebelum melakukan pembuatan sampel dilakukan terlebih dahulu pengujian kandungan besi menggunakan XRF untuk mengetahui kandungan besi mana yang banyak dan yang akan digunakan untuk pembuatan nanopartikel. Selanjutnya tahap pembuatan sampel pada penelitian ini yaitu:

1. Membuat larutan elektrolit dengan menimbang padatan  $\text{FeSO}_4 \cdot 7\text{H}_2\text{O}$  sebanyak 6,95 gram lalu melarutkan ke dalam 250 mL aquades, kemudian menghomogenkannya.
2. Selanjutnya membuat elektroda besi dengan mengisi larutan elektrolit  $\text{FeSO}_4 \cdot 7\text{H}_2\text{O}$  sebanyak 250 mL ke dalam gelas kimia 500 mL. Kemudian menempatkan lempengan besi yang dilapisi sebagai katoda dan elektroda karbon ditempatkan sebagai anoda, lalu mengatur jarak antar elektroda 3 cm. Bejana yang sudah tersusun rangkaian elektrolisis dan terisi larutan elektrolit. Lalu mengalirkan arus DC dari power supply pada tegangan 10 volt selama 5 jam pada rangkaian tersebut.

3. Selanjutnya membuat nanopartikel magnetit ( $\text{Fe}_3\text{O}_4$ ) secara elektrokimia dengan mengisi aquades sebanyak 250 mL ke dalam gelas kimia 500 mL, lalu menempatkan lempengan besi hasil elektroplating sebagai anoda dan lempengan besi komersil sebagai katoda. Bejana yang sudah tersusun rangkaian elektrolisis dan terisi larutan elektrolit kemudian meletakkannya di atas *magnetic stirrer* kemudian mengalirkan arus DC dari *power supply* dengan variasi tegangan 5, 10, 15 volt selama 24 jam. Pada akhir proses, produk yang dihasilkan berupa endapan  $\text{Fe}_3\text{O}_4$ . Endapan yang telah diperoleh selanjutnya menyaring menggunakan kertas saring whatman no. 42 dan mengeringkan menggunakan oven pada suhu  $80\text{ }^\circ\text{C}$  hingga kering.

### **3.2.2 Karakteristik Sampel Nanopartikel Magnetite dengan Menggunakan X-Ray Diffraction (XRD).**

1. Mengambil sampel yang telah berbentuk bubuk dengan volume satu sendok teh, kemudian memasukkan ke dalam plat aluminium berukuran  $2 \times 2\text{ cm}$ .
2. Selanjutnya plat aluminium yang berisi sampel dikarakteristik menggunakan XRD-7000 SHIMADZU dengan sumber Cu-K $\alpha$ 1, yang memiliki panjang gelombang  $1,540600\text{ \AA}$ . Kemudian mengatur besarnya tegangan dan arus yang akan digunakan.
3. Selanjutnya pengambilan data difraksi dilakukan dalam rentang sudut difraksi  $2\theta$  dengan kecepatan baca waktu per detik.

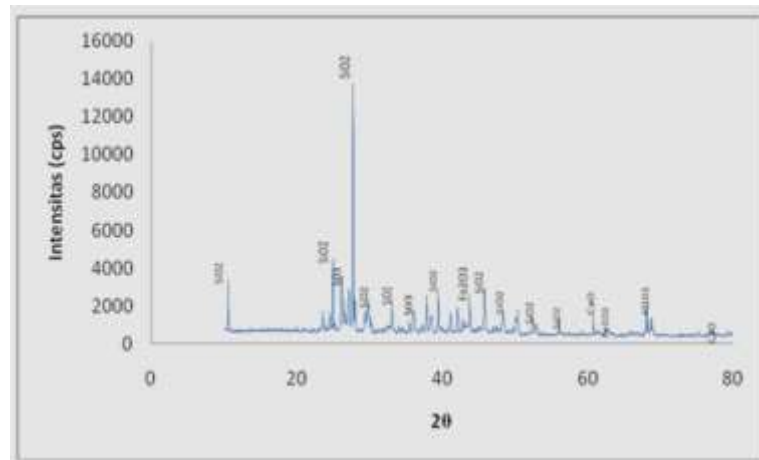
4. Menembakkan sinar-X menuju sampel nanopartikel, sehingga akan membuat detektor berputar sesuai dengan rentang sudut difraksi  $2\theta$  yang digunakan. Selanjutnya setelah ditembakkan maka nilai terbaca pada monitor atau layar komputer grafik difraktogram yaitu grafik hubungan intensitas dengan  $2\theta$ .
5. Menginterpretasi grafik dengan menggunakan bantuan *Software Match*. Yang dapat memberikan informasi tentang struktur kristal yang terdapat pada sampel nanopartikel magnetite.

#### **3.2.4 Karakteristik Sampel Pasir Besi dengan Menggunakan *Scanning Electron Microscopy* (SEM)**

1. Menyiapkan alat dan bahan
2. Memasukkan sampel pada alat *coating* (pelapisan)
3. Memasukkan ke dalam SEM untuk dianalisis.

### **3.3 Teknik Analisis Data**

Teknik analisis data pada penelitian ini yaitu sebelum material nanopartikel magnetite diuji dengan menggunakan *XRD*, terlebih dahulu mengatur nilai panjang gelombang, orde pembiasan serta sudut difraksi  $2\theta$  yang digunakan. Selanjutnya dari hasil perekaman sampel maka dihasilkan grafik difraktogram yaitu grafik hubungan antara intensitas  $2\theta$ , grafik ini muncul ketika hasil perekaman *XRD* dan data yang dapat diperoleh. Selanjutnya dianalisis menggunakan aplikasi *Software Match*. Setelah dianalisis menggunakan aplikasi *Software match* maka akan diperoleh gambar seperti tampak pada gambar berikut ini:

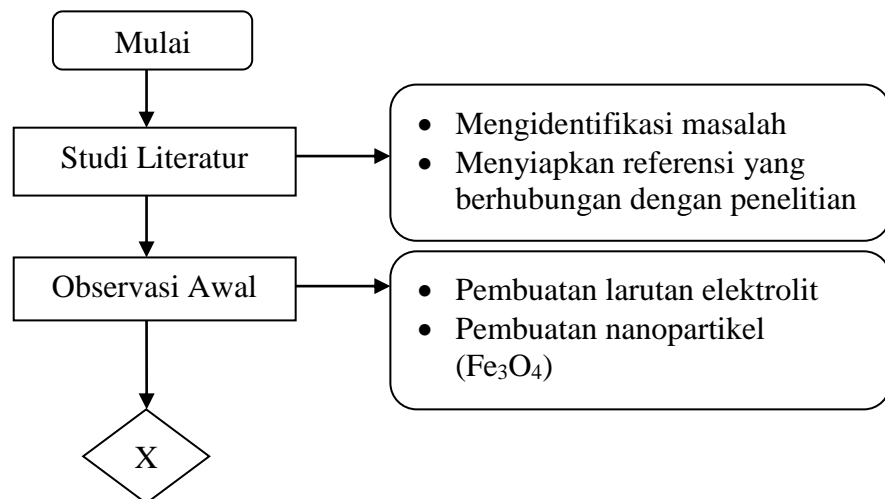


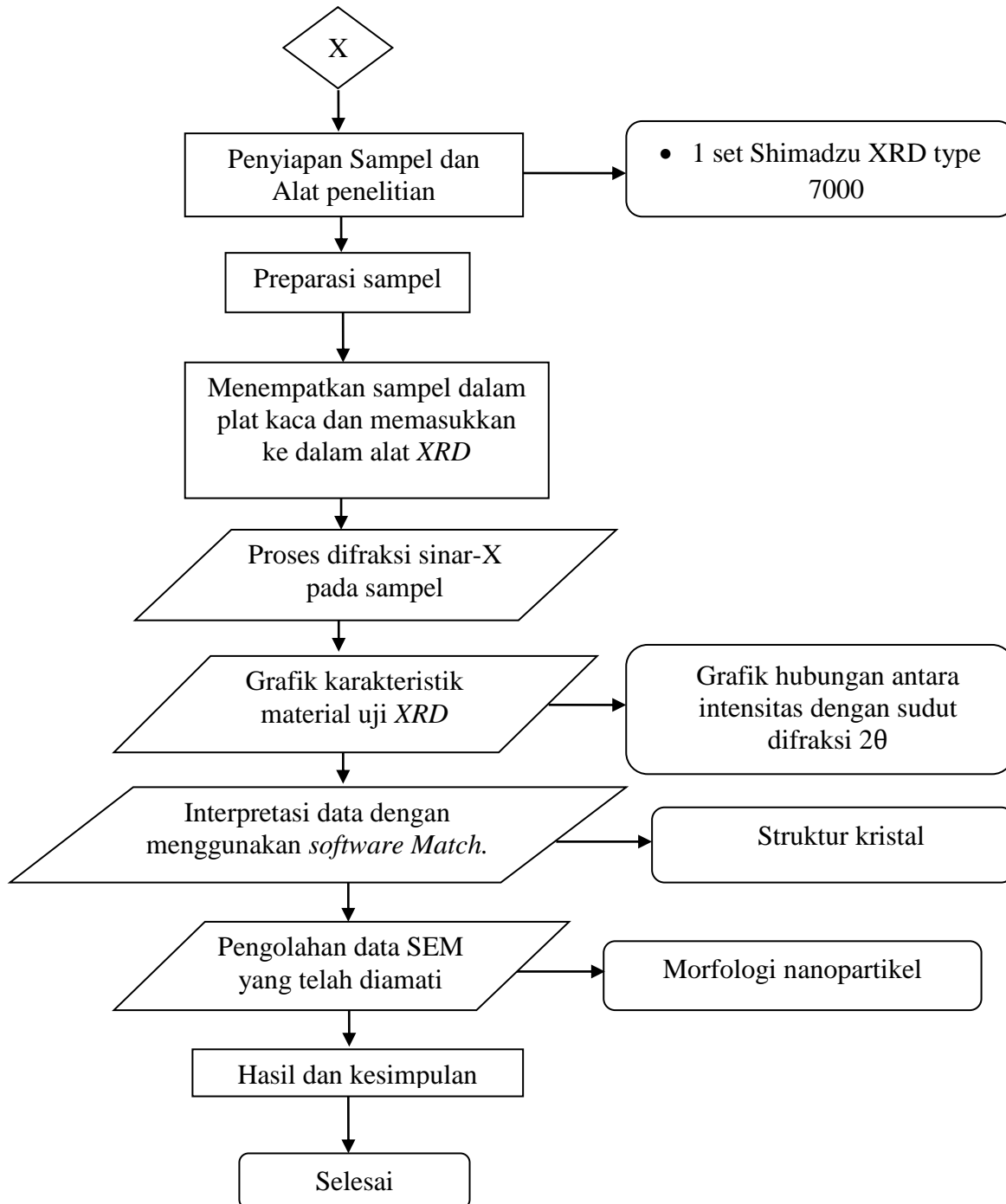
Gambar 3.2: Grafik contoh analisis sampel dari uji *XRD* (sumber: Sania.,dkk., 2014:268).

Grafik difraktogram di atas kemudian dimasukkan dan diolah dengan menggunakan bantuan *Software Match*. Kemudian *Software Match* ini dapat memberikan informasi mengenai struktur kristal, sel satuan, densitas dan nilai  $d_{hkl}$  (indeks bidang) yang terdapat pada sampel.

### 3.4 Bagan Alir Penelitian

Bagan alir pada penelitian ini adalah sebagai berikut:





Gambar 3.4: Bagan alir penelitian.



## **BAB IV**

### **HASIL PENELITIAN DAN PEMBAHASAN**

Lokasi penelitian dilaksanakan di Laboratorium Kimia Fisika Fakultas Sains dan Teknologi Universitas Islam Negeri Alauddin Makassar dan di Laboratorium Sains Building Universitas Hasanuddin Makassar. Penelitian ini terdiri dari dua proses yakni fase pertama yaitu pembuatan nanopartikel magnetite ( $\text{Fe}_3\text{O}_4$ ) dengan metode elektrokimia dilakukan di Laboratorium Kimia Fisika Fakultas Sains dan Teknologi Universitas Islam Negeri Alauddin Makassar. Berikutnya fase kedua yaitu pengujian struktur kristal dan bentuk morfologi bahan nanopartikel magnetite ( $\text{Fe}_3\text{O}_4$ ) dengan menggunakan XRD dan SEM. Berikut diuraikan masing-masing kedua fase yang dilakukan pada penelitian ini yaitu:

#### **4.1 Pembuatan Nanopartikel Magnetite ( $\text{Fe}_3\text{O}_4$ ) dengan Metode Elektrokimia**

Pembuatan nanopartikel ini dilakukan dengan metode elektrokimia karena metode tersebut adalah salah satu metode yang mudah dan murah untuk menghasilkan nanopartikel yang berkualitas baik. Langkah awal yang dilakukan sebelum proses pembuatan nanopartikel yaitu menyiapkan beberapa sampel besi bekas dan selanjutnya melakukan pengujian kandungan (kadar) besi yang digunakan sebagai sampel (bahan) pembuatan nanopartikel. Pengujian awal ini diuji di

Laboratorium Sains Building Universitas Hasanuddin Makassar menggunakan XRF (*X-Ray Diffraction*).

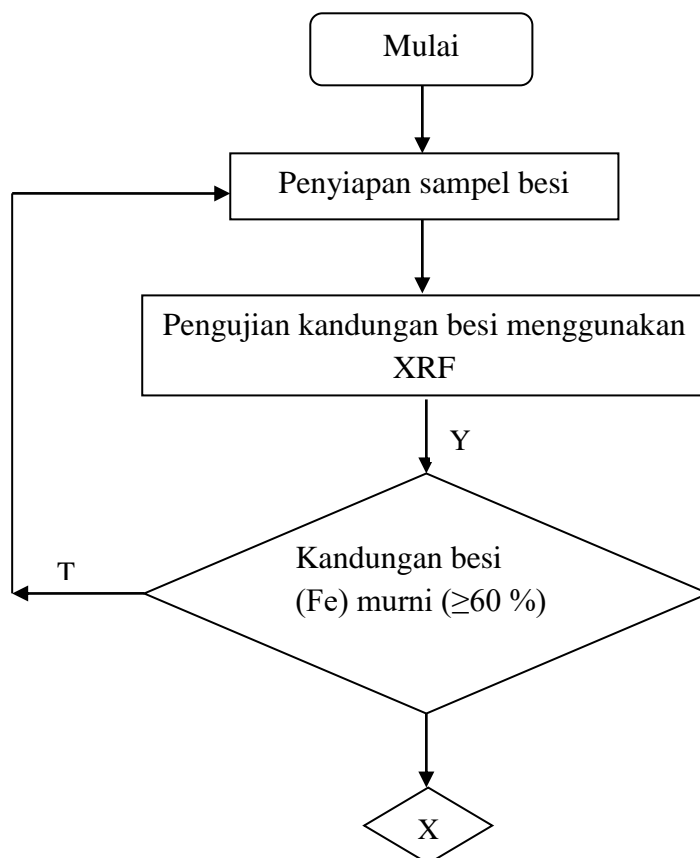
Hasil pengujian yang diperoleh pada salah satu besi memiliki kandungan besi (Fe) mencapai 68,66 % (Lampiran L.6). Sampel inilah yang telah digunakan sebagai bahan pembuatan nanopartikel magnetite. Jika sampel (bahan) besi yang telah digunakan bukan dari besi murni (kadar kurang dari 60 %), maka bahan nanopartikel tersebut sulit atau bahkan tidak terbentuk sama sekali sebagai padatan. Setelah mengetahui kadar besi, selanjutnya membuat larutan elektrolit menggunakan padatan besi sulfat ( $\text{FeSO}_4$ ) sebanyak 6,95 gram dan melarutkan ke dalam 250 mL aquades ( $\text{H}_2\text{O}$ ) sehingga bahan campuran ini dijadikan sebagai larutan elektrolit. Berdasarkan hasil penelitian sebelumnya (observasi awal) telah diuji suatu bahan pembuatan nanopartikel menggunakan larutan sebanyak 1,78 gram dengan hasil menunjukkan bahwa nanopartikel tidak membentuk suatu padatan nanopartikel. Sehingga jika dianalisis secara proses reaksi kimia semakin banyak padatan besi sulfat  $\text{FeSO}_4$  maka akan mudah terbentuk nanopartikel magnetite. Dalam penelitian ini telah digunakan 6,95 gram padatan besi sulfat yang telah direaksikan dengan cairan aquades 250 mL. Proses ini selanjutnya menghomogenkan dalam labu takar sampai padatan  $\text{FeSO}_4$  larut dalam aquades sehingga membentuk larutan elektrolit  $\text{FeSO}_4$ .

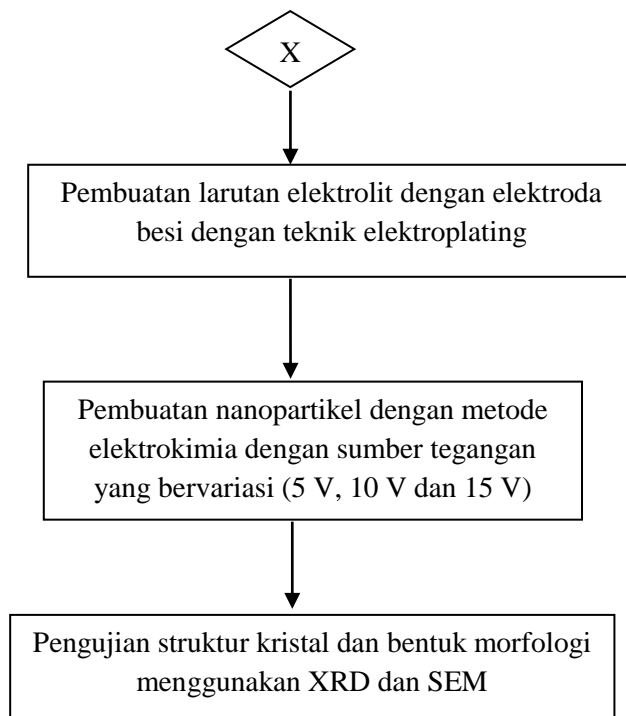
Proses selanjutnya adalah pembuatan elektroda besi dengan teknik elektroplating. Teknik ini dilakukan dengan cara menyimpan larutan elektrolit  $\text{FeSO}_4$  sebanyak 250 mL ke dalam gelas kimia 500 mL. Kemudian menempatkan lempengan besi yang dilapisi sebagai katoda dan elektroda karbon ditempatkan sebagai anoda,

lalu mengatur jarak antar elektroda 3 cm. Bejana yang sudah tersusun rangkaian elektrolisis dan terisi larutan elektrolit. Lalu mengalirkan arus DC dari power supply pada tegangan 10 volt selama 5 jam.

Kemudian membuat nanopartikel dengan metode elektrokimia menggunakan besi dan larutan elektrolit yang telah dibuat sebelumnya dengan menerapkan tiga variasi voltase yaitu 5 volt, 10 volt dan 15 volt agar dapat diketahui nilai voltase berapakah yang dapat menghasilkan nanopartikel magnetite yang baik.

Berikut proses pembuatan bahan nanopartikel magnetite diuraikan dalam bentuk skema seperti pada gambar 4.1 sebagai berikut:





Gambar 4.1: Skema proses pembuatan bahan nanopartikel magnetite.

Pembuatan nanopartikel dengan menggunakan metode elektrokimia ini menghasilkan 5,1 gram nanopartikel magnetite ( $\text{Fe}_3\text{O}_4$ ) setiap voltasenya. Nanopartikel magnetite yang dihasilkan dengan sumber tegangan (voltase) 5 volt memiliki ciri fisik coklat kehitaman, berbeda dengan nanopartikel yang dihasilkan dengan sumber tegangan 10 volt memiliki ciri fisik berwarna hitam pekat sama halnya ciri fisik nanopartikel yang didapatkan oleh voltase 15 volt.

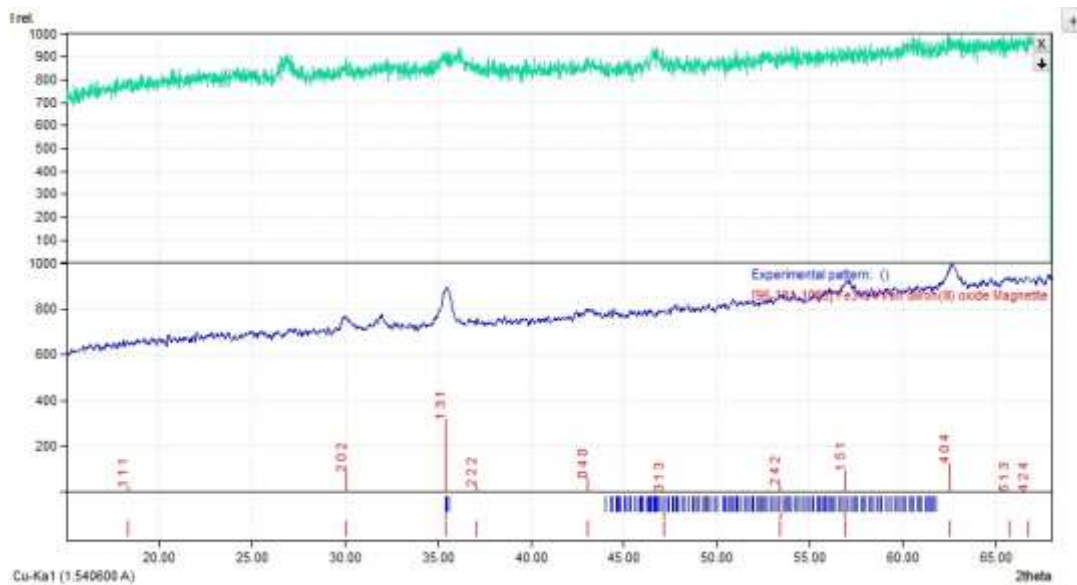
#### 4.2. Hasil Uji Struktur Kristal Bahan Nanopartikel Magnetite ( $\text{Fe}_3\text{O}_4$ )

Berdasarkan hasil pengujian XRD dihasilkan pola difraksi sinar-X seperti pada gambar 4.2. Dapat dijelaskan secara analisis kualitatif bahwa dengan identifikasi fasa kristalin sampel nanopartikel didasarkan pada penyesuaian posisi puncak difraksi yang terukur dengan *data base (peak list)* yang dihasilkan. Penyesuaian puncak

difraksi dan *database* ini dilakukan dengan menggunakan *software Match*. Berikut hasil analisis sampel XRD (*X-Ray Diffraction*) setiap sumber tegangan yang diberikan yaitu:

### 1. Uji Struktur Kristal Bahan Nanopartikel Magnetite ( $\text{Fe}_3\text{O}_4$ ) Untuk Sumber Tegangan 5 V

Berikut ini adalah analisis sampel uji struktur kristal melalui penggabungan antara 5 volt dan 10 volt dengan menggunakan alat XRD 5 volt yaitu:



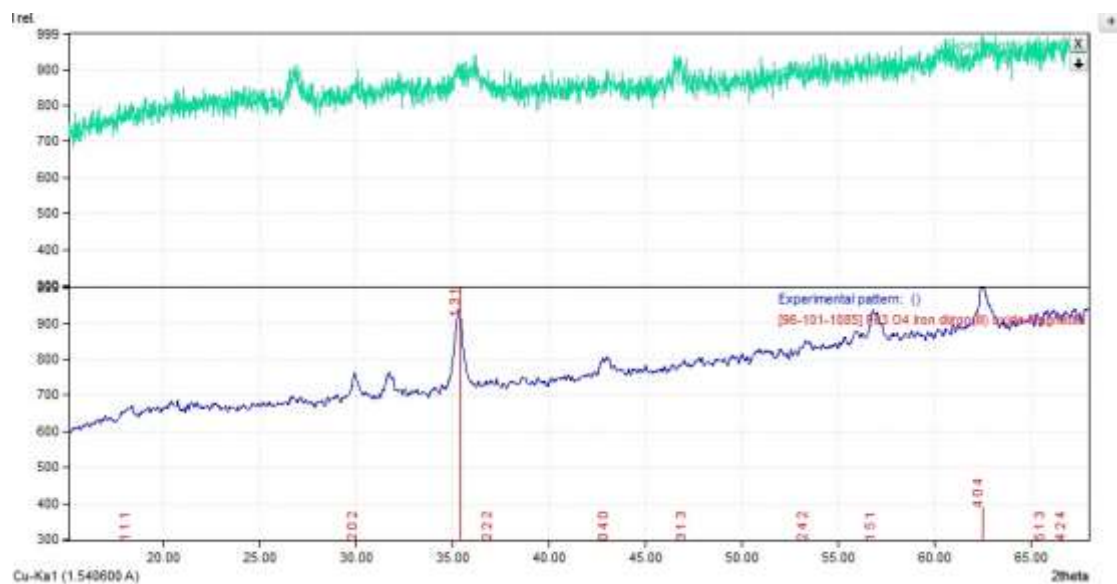
Gambar 4.2: Hubungan intensitas dan  $2\theta$  pada karakteristik sampel nanopartikel magnetite ( $\text{Fe}_3\text{O}_4$ ) dengan voltase 10 volt dan 5 volt

Hasil analisis grafik diketahui dengan menggabungkan grafik 10 volt dan 5 volt. Pada saat analisis XRD untuk voltase 5 volt tidak ditampilkan dengan secara jelas. Hal ini disebabkan karena pada bahan nanopartikel magnetite ( $\text{Fe}_3\text{O}_4$ ) untuk sumber tegangan 5 volt, nanopartikel yang dihasilkan masih dalam fase

pembentukan. Inilah yang mengakibatkan pada saat pembacaan sampel dan analisis XRD, nanopartikel magnetite ( $\text{Fe}_3\text{O}_4$ ) 5 volt tidak dapat diketahui struktur kristal dan kandungan nanopartikelnya.

Dilakukan pula perbandingan grafik 15 volt dan 5 volt untuk lebih memperjelas bahwa nanopartikel magnetite yang dihasilkan dari sumber tegangan 5 volt masih dalam fase pembentukan.

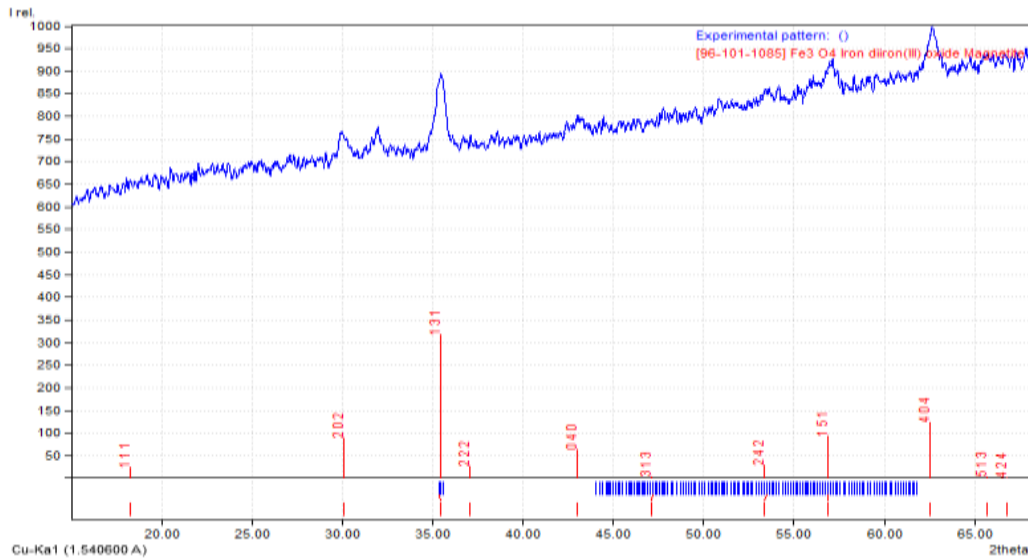
Berikut ini adalah analisis sampel uji struktur kristal melalui penggabungan antara 5 volt dan 15 volt dengan menggunakan alat XRD 5 volt yaitu:



Gambar 4.2: Hubungan intensitas dan  $2\theta$  pada karakteristik sampel nanopartikel magnetite ( $\text{Fe}_3\text{O}_4$ ) dengan voltase 15 volt dan 5 volt

## 2. Uji Struktur Kristal Bahan Nanopartikel Magnetite ( $\text{Fe}_3\text{O}_4$ ) Untuk Sumber Tegangan 10 V.

Berikut ini adalah analisis sampel nanopartikel untuk pengujian XRD sumber tegangan 10 volt yaitu:

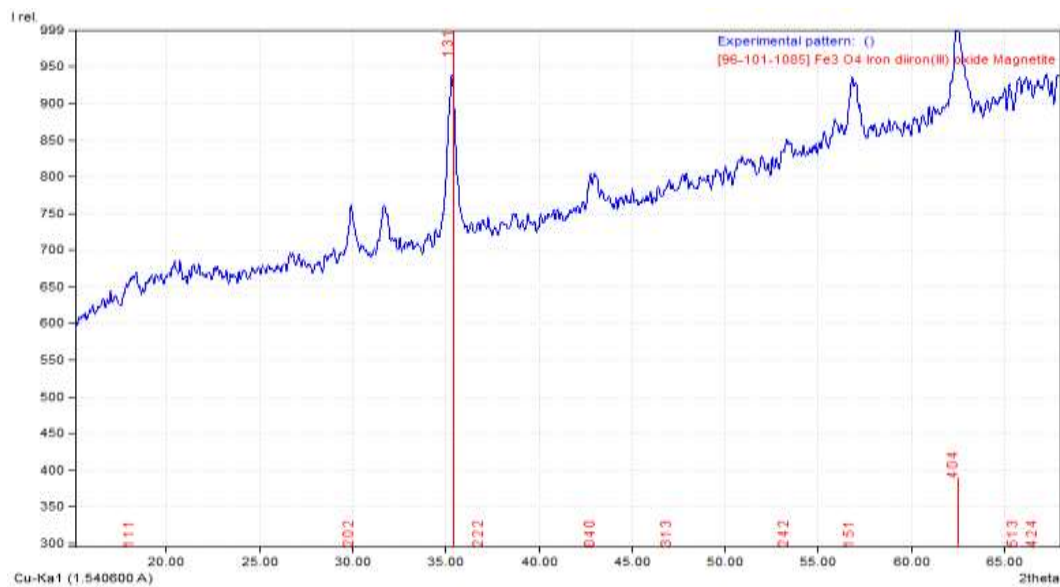


Gambar 4.4: Hubungan intensitas dan  $2\theta$  pada karakteristik sampel nanopartikel magnetite ( $\text{Fe}_3\text{O}_4$ ) dengan voltase 10 volt

Pada sampel kedua dengan sumber tegangan 10 volt kandungan nanopartikel yang diperoleh yaitu *iron diiron* terdiri atas ( $\text{FeO}$ ,  $\text{Fe}_2\text{O}_3$ ) yakni bahan ini termasuk dalam kelompok nanopartikel magnetite, berwarna hitam pekat, dengan struktur kristal kubik. Artinya sistem ini memiliki tiga sumbu, dengan jumlah sumbu kristalnya terdiri dari tiga dan saling tegak lurus satu dengan yang lainnya. Yaitu pada kondisi sebenarnya sistem kristal ini memiliki rasio perbandingan sumbu  $a = b = c$ , dengan sudut kristalografi  $\alpha = \beta = \gamma = 90^\circ$ . Hal ini berarti bahwa pada sistem ini semua sudut kristalnya ( $\alpha$ ,  $\beta$  dan  $\gamma$ ) tegak lurus satu sama lain membentuk sudut  $90^\circ$ .

### 3. Uji Struktur Kristal Bahan Nanopartikel Magnetite ( $\text{Fe}_3\text{O}_4$ ) Untuk Sumber Tegangan 15 V

Berikut ini adalah analisis sampel uji struktur kristal melalui sumber tegangan 15 volt dengan menggunakan alat XRD yaitu:



Gambar 4.5: Hubungan intensitas dan  $2\theta$  pada karakteristik sampel nanopartikel magnetite ( $\text{Fe}_3\text{O}_4$ ) dengan voltase 15 volt.

Pada sampel ketiga dengan sumber tegangan 15 volt untuk bahan nanopartikel yang diperoleh adalah *iron diiron* terdiri atas ( $\text{FeO}$ ,  $\text{Fe}_2$ ,  $\text{O}_3$ ). Nanopartikel ini termasuk dalam kelompok nanopartikel magnetite, berwarna hitam pekat, dengan struktur kristal kubik. Sistem ini memiliki tiga sumbu, dengan jumlah sumbu kristalnya ada tiga dan saling tegak lurus satu dengan yang lainnya. Yaitu pada kondisi sebenarnya sistem kristal ini memiliki rasio perbandingan sumbu  $a = b = c$ , dengan sudut kristalografi  $\alpha = \beta = \gamma = 90^\circ$ . Ini berarti bahwa pada sistem ini semua sudut kristalnya ( $\alpha$ ,  $\beta$  dan  $\gamma$ ) tegak lurus satu sama lain membentuk sudut  $90^\circ$ .



Secara umum dapat dilihat pada tabel berikut untuk hasil uji analisis karakteristik menggunakan alat XRD pada semua voltase (tegangan) yang digunakan yaitu:

Tabel 4.1: Hasil uji analisis karakteristik nanopartikel menggunakan XRD

Panjang gelombang sinar-X ( $\lambda$ ) = 1,540600 Å

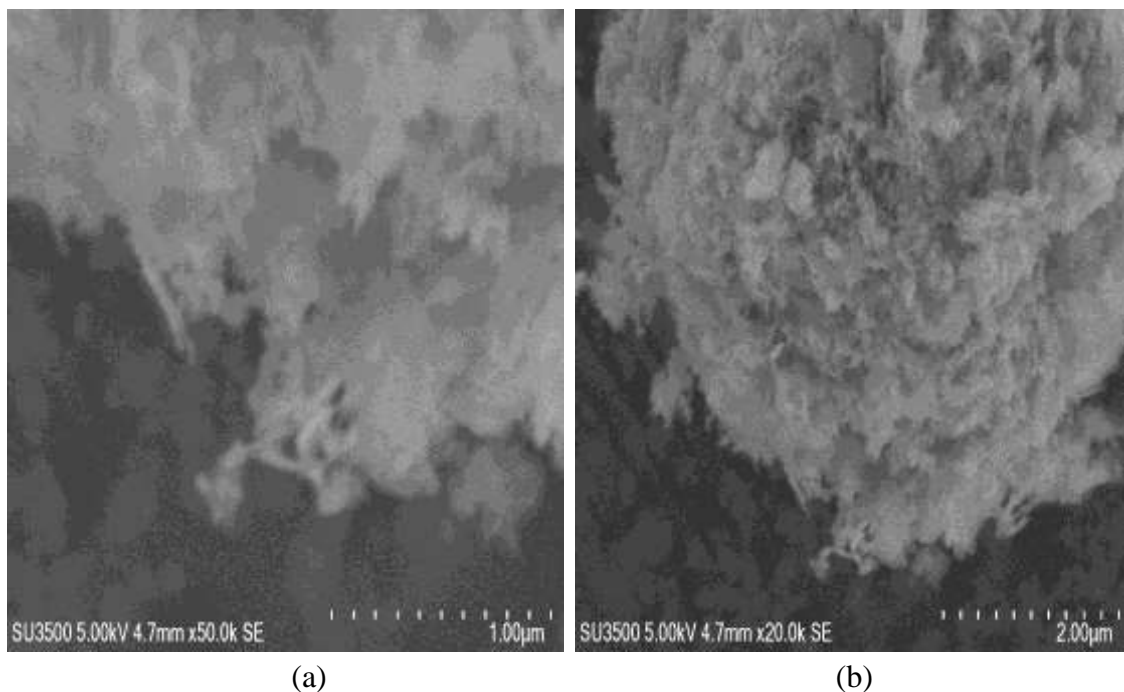
Orde pembiasan (n) = 20-60

Parameter	Nilai yang terukur		
Sumber tegangan (V)	5	10	15
Sudut sinar datang ( $2\theta$ ) dalam derajat	-	35,38	35,33
Struktur Kristal	-	Kubik	Kubik
Kandungan Nanopartikel	-	Iron diiron (III) oxide magnetite (Fe <sub>3</sub> O <sub>4</sub> )	Iron diiron (III) oxide magnetite (Fe <sub>3</sub> O <sub>4</sub> )
Persentase Kandungan Mineral (%)	-	100	100
Karakteristik lain yang dihasilkan	-	Densitas (5,179) gr/cm <sup>3</sup> Sel Satuan 8,4 Å <sup>0</sup> Jarak antar atom = 2,5351 Å <sup>0</sup> Jumlah intensitas = 625,22 cps	Densitas (5,179) gr/cm <sup>3</sup> Sel Satuan 8,4 Å <sup>0</sup> Jarak antar atom = 2,5351 Å <sup>0</sup> Jumlah intensitas = 625,22 cps

#### 4.3 Karakteristik Morfologi Nanopartikel Magnetite ( $\text{Fe}_3\text{O}_4$ ) Dengan Menggunakan *Scanning Elektron Microscopy* (SEM)

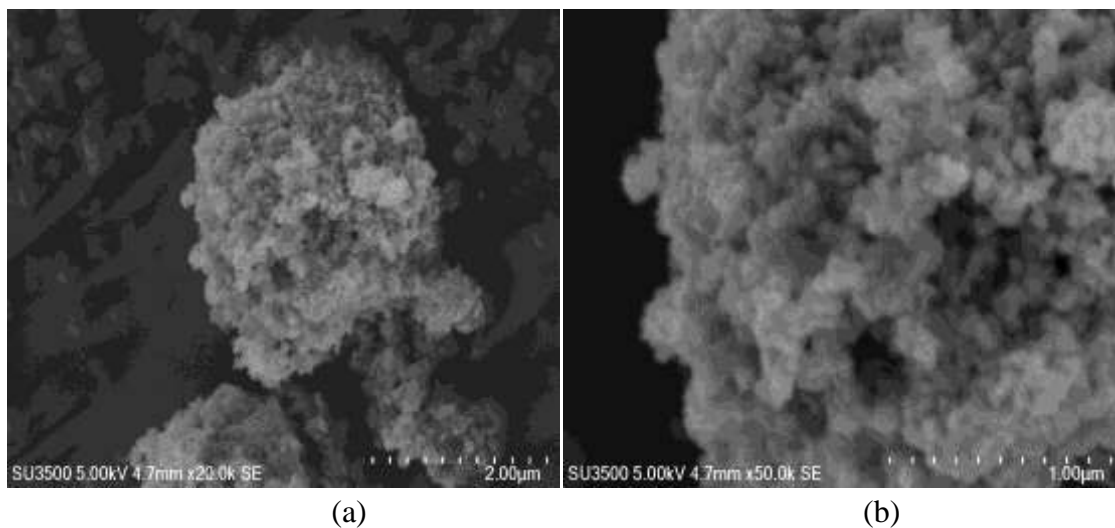
Jenis alat *Scanning Elektron Microscopy* (SEM) yang telah digunakan pada penelitian ini adalah Hitachi SU3500 dan tegangan operasi yang diberikan yaitu 5 kV. Untuk ukuran partikel dapat dibandingkan dengan skala yang tertera di pojok kanan bawah gambar. Ada *scale bar* yang terdiri atas 11 titik (garis) dan di bawahnya ada ukuran panjang. Artinya jarak dari titik pertama ke-11 adalah mikron.

Berdasarkan penelitian yang telah dilakukan dengan menggunakan SEM, maka diperoleh hasil sebagai berikut untuk bahan nanopartikel magnetite pada setiap sumber tegangan yang bervariasi yaitu 5 volt, 10 volt dan 15 volt:

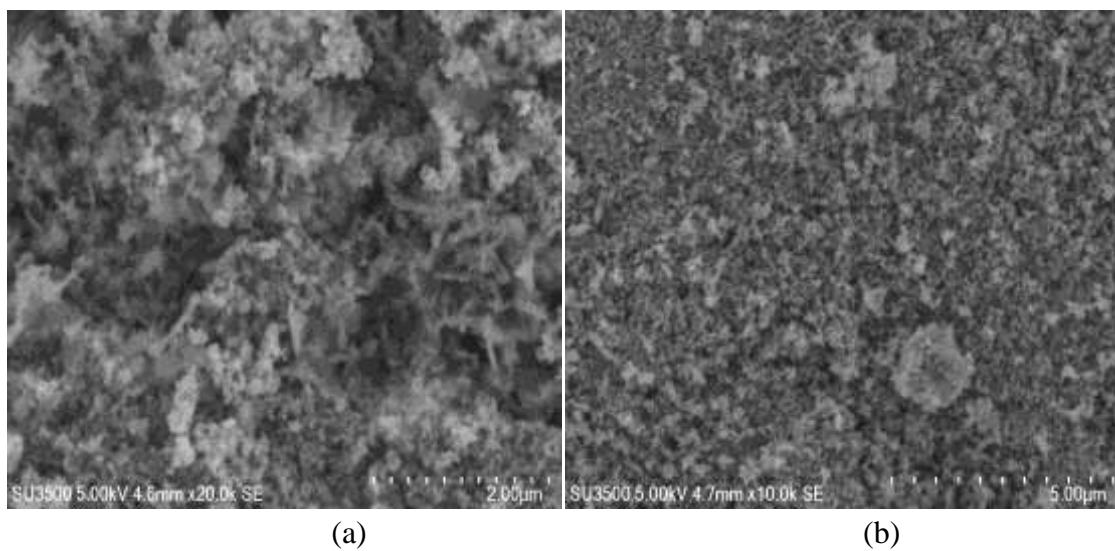


Gambar 4.6: Hasil morfologi SEM untuk perlakuan  $V_s = 5$  volt dengan perbesaran

(a) 20.000 kali dan (b) 20.000 kali



Gambar 4.7: Hasil morfologi SEM untuk perlakuan  $V_s = 10$  volt dengan perbesaran (a) 20.000 kali dan (b) 50.000 kali



Gambar 4.8: Hasil morfologi SEM untuk perlakuan  $V_s = 15$  volt dengan perbesaran (a) 20.000 kali dan (b) 10.000 kali

Pada proses pembuatan bahan nanopartikel magnetite digunakan tiga perlakuan sumber tegangan yang bervariasi yaitu 5 volt, 10 volt dan 15 volt. Pemberian sumber tegangan dapat mempengaruhi bentuk morfologi dari bahan nanopartikel yang diperoleh

seperti pada hasil pengujian morfologi bahan nanopartikel tersebut. Akan tetapi pengaruh ini cenderung bahwa bahan nanopartikel magnetitnya memiliki morfologi berbentuk bulat padatan (*spherical*) dan ukurannya seragam. Pada gambar 4.5, 4.6, dan 4.7 telah memperlihatkan pengaruh pemberian sumber tegangan terhadap morfologi bahan nanopartikel magnetite.

Pengamatan morfologi menggunakan SEM untuk bahan nanopartikel pada sumber tegangan 5 volt belum terlihat nampak secara jelas, baik perbesaran 50.000 kali (ukuran yang dihasilkan nanopartikelnya 1  $\mu\text{m}$  artinya jarak antara titik satu dan titik kedua 0,1 mikron) dan perbesaran 20.000 kali (ukuran partikel 2  $\mu\text{m}$  artinya jarak antara titik pertama dan kedua 0,2 mikron). Pada gambar bentuk morfologi skala bar terdapat 11 garis, artinya bahwa perbesaran 50.000 kali dengan ukuran nanopartikelnya 1  $\mu\text{m}$  terdapat jarak antara titik satu dengan titik kedua dan berikutnya menghasilkan 0,1 mikron, begitupula dengan perbesaran 20.000 kali.

Untuk sumber tegangan 10 volt, bentuk morfologi seperti serabut ini nampak lebih jelas seperti pada gambar 4.6. Untuk perbesaran 20.000 kali nampak ukuran partikelnya 2  $\mu\text{m}$  (jarak antara titik pertama dengan kedua dan berikutnya sebesar 0,2 mikron). Lebih diperjelas lagi pada perbesaran 50.000 kali terlihat bentuk morfologinya lebih jelas dengan ukuran 1  $\mu\text{m}$  (jarak antara titik pertama dan kedua 0,1 mikron). Dari kedua perbesaran pada perlakuan sumber tegangan 10 volt, bentuk morfologi lebih jelas pada perbesaran 50.000 kali dibandingkan dengan perbesaran 20.000 kali. Meskipun ukurannya yang lebih kecil yang dihasilkan.

Pada sumber tegangan 15 volt setelah dilakukan pengujian SEM diperoleh hasil morfologi dua perbesaran yang berbeda dan ukuran masing-masing nanopartikel juga

berbeda. Hasil pengujian SEM pada perlakuan 15 volt untuk pembesaran 20.000 kali diperoleh ukuran morfologi 2  $\mu\text{m}$  namun setelah diperkecil ukuran foto SEM-nya menjadi 10.000 kali maka jauh lebih nampak dan sangat jelas morfologinya yakni berbentuk bulat (*spherical*) dan ukurannya pun cukup seragam. Namun pada ukuran perbesaran 10.000 kali ini jauh lebih jelas ukurannya yakni 5  $\mu\text{m}$  (artinya jarak antara titik pertama dan kedua berukuran 0,5 mikron).

#### **4.4 Kesesuaian Hasil Pengujian Antara Alat XRD dengan Alat SEM.**

Secara pengujian struktur kristal menggunakan XRD dan pengujian bentuk morfologi menggunakan SEM, keduanya diperoleh karakteristik yang sesuai. Meskipun diberikan perlakuan sumber tegangan yang bervariasi, namun hasil keduanya cenderung karakteristiknya sama namun parameternya berbeda. Untuk sumber tegangan 5 volt diperoleh pengujian struktur kristalnya tidak dapat dibaca dengan jelas sedangkan pengujian bentuk morfologinya juga demikian. Hal ini disebabkan karena nanopartikel magnetite yang dibuat (dihasilkan) masih dalam fase pembentukan sehingga karakteristiknya belum diketahui secara jelas.

Perlakuan sumber tegangan 10 volt dan 15 volt cenderung dihasilkan karakteristik bahan nanopartikelnya sama. Hal ini dibuktikan secara pengujian struktur kristalnya menggunakan XRD diperoleh masing-masing struktur kristal berbentuk kubik, sudut berkas sinar datang yang ditembakkan masing-masing  $35,38^\circ$  dan  $35,33^\circ$ , nilai densitasnya pun sama yaitu  $5,179 \text{ gr/cm}^3$ , jarak antara atomnya diperoleh rata-rata  $2,5383 \text{ \AA}$ , sel satuannya masing-masing  $8,4 \text{ \AA}$ . Namun terdapat

perubahan intensitas dalam cps (cacah persekon) berbeda, yakni untuk 10 volt sebesar 625,22 cps dan 15 volt sebesar sebesar 988,92 cps.

Sedangkan dari segi bentuk morfologinya untuk perlakuan sumber tegangan 10 volt dan 15 volt, dihasilkan secara jelas dan nampak berbentuk padatan bulat (*spherical*). Hanya yang berbeda dari segi ukuran perbesarannya. Untuk sumber tegangan 10 volt yang lebih nampak adalah pada perbesaran 50.000 sedangkan untuk tegangan 15 volt yang lebih nampak adalah pada perbesaran 10.000 kali. Hasil yang diperoleh dari alat SEM ini memperlihatkan morfologi permukaan nanopartikel yang memiliki bentuk morfologi yang hampir sama.

## **BAB V**

### **PENUTUP**

#### **5.1 Kesimpulan**

Berdasarkan penelitian yang telah dilakukan maka dapat ditarik kesimpulan sebagai berikut:

1. Pembuatan nanopartikel magnetite ( $\text{Fe}_3\text{O}_4$ ) diawali dengan melakukan pengambilan padatan besi lalu menganalisis pada XRF dan setelah itu melakukan elektroplating untuk melapisi elektroda besi dan selanjutnya dilakukan pembuatan nanopartikel, divariasikan dengan tiga sumber tegangan yaitu 5 volt, 10 volt, dan 15 volt. Pembuatan nanopartikel dilakukan secara elektrokimia dan menghasilkan nanopartikel yang baik pada sumber 10 volt dan 15 volt. Proses pembentukan nanopartikel magnetite ( $\text{Fe}_3\text{O}_4$ ) disintesis selama 24 jam, dan menghasilkan nanopartikel yang memiliki 100 % magnetite yaitu nanopartikel besi.
2. Karakteristik struktur nanopartikel magnetite yang diperoleh dari ketiga sampel yaitu *iron diiron (III) oxide magnetite* dengan analisis XRD berbentuk kubik..
3. Karakteristik bentuk morfologi nanopartikel magnetite ( $\text{Fe}_3\text{O}_4$ ) yang dihasilkan dari analisis SEM yaitu nanopartikel berbentuk padatan bulat mengikat (*spherical*).

#### **5.2 Saran**

Setelah melakukan penelitian maka untuk peneliti selanjutnya dapat disarankan hal-hal sebagai berikut:

1. Untuk melengkapi data penelitian sebaiknya dilakukan pengujian metode yang lebih spesifik, untuk dapat melihat lebih jelas nanopartikel yang dihasilkan misalnya menggunakan alat TEM (*Transmission Electron Microscopy*).
2. Untuk melengkapi data penelitian sebaiknya melakukan penelitian lanjutan dengan melakukan penyerapan logam pada nanopartikel yang dihasilkan.
3. Untuk mendapatkan hasil nanopartikel magnetite yang lebih baik lagi sebaiknya sumber tegangannya lebih divariasikan lagi.



## DAFTAR PUSTAKA

- Abdullah, M. 2010. *Karakterisasi Nanomaterial, Teori, Penerapan dan Pengolahan Data*. Bandung: Rezeki Putra Bandung.
- Abdullah, Mikrajuddin, dkk. 2008. Review: Sintesis Nanomaterial. *Jurnal Nanosains dan Teknologi*.
- Al-Qur'an. *Al-Hadid/57: 25*. Makassar.
- Anggraeni, Nuha Desi. 2008. Analisa SEM (*Scanning Electron Microscope*) Dalam Pemantauan Proses Oksidasi Magnetit Menjadi Hematite. *Jurnal Rekayasa Aplikasi Teknik Mesin*.
- Beiser, Arthur. 1992. *Modern Technical Physics*. Malang.
- Kementrian Agama R.I. 2013. *Al-Qur'an Al- Karim dan Terjemahnya*. Surabaya: Halim.
- Abdullah. 2013. *Tafsir Ibnu Katsir*. Jilid 2. Jakarta: Pustaka Imim Syafi'i.
- Fery M. "Lambung Pustaka UNY" *Artikel*, (2012), h. 13-53. <http://eprints.uny.ac.id/8160/3/bab%202%20-%20%2008306141017.pdf> (Diakses 3 Februari 2016).
- Ghozali, Agus Iman, dkk. 2012. Fotodegradasi Zat Warna Remazol Red Menggunakan Katalis  $\alpha$ -Fe<sub>2</sub>O<sub>4</sub>/Fe<sub>3</sub>O<sub>4</sub>Core Shell Nanostruktur. *Indonesian Journal Of Chemical Science*.
- Hidayati. "Penentuan Struktur Oksida Uranium". *PPNY-BATAN Yogyakarta*, (1995): h. 8. <http://www.iaea.org/inis/collection/NCLCollectionStore/Punlic/33/023/33023315.pdf>. (Diakses 3 Februari 2016).
- Kittel, Charles. 1976. *Intrudiction to Solid State Phy sics*. USA: John Wiley & Sons.
- Kittel, Charles. 1991. *Intriduction to Solid State Physics 6th*. USA: John Wiley & Sons.
- Kundari, Noor, Anis dan Slamet Wiyaniati. 2008. Tinjauan Kesetimbangan Adsorpsi Tembaga Dalam Lsimbah Pencuci PCB Dengan Zeolit. *SDM Teknologi Nuklir*.
- Maylani, Amanda Shinta. 2015. Preparasi Nanopartikel Fe<sub>3</sub>o<sub>4</sub> (*Magnetit*) Serta Aplikasinya Sebagai Adsorben Ion Logam Kadmium [Skripsi]. Fakultas Matematika dan Ilmu Pendidikan Alam, Universitas Negeri Semarang.

- Oktaviana, 2008. Maranatha blog *SEM (SCANNING ELECTRON MIKROSCOPY)*. htm. Diakses 25 Desember 2016
- Ratnasari, Dina., dkk. 2009. "X-Ray Diffraction (XRD)". *Tugas Kimia Fisika*. (2009): h. 2-3. <http://kimia.ft.uns.ac.id/file/kuliah/kimia%20Fisika/.../XRD%20III.pdf> (diakses 26 November 2015).
- 50
- Sania., dkk. 2014. "Karakteristik dan Kandungan Mineral Pasir Pantai Lhok Mee, Beureunut dan Leungah, Kabupaten Aceh Besar". *Material 3*, No. 263-270. (2014): h. 268.
- Shihab, M Quraish. 2002. *Tafsir Al-Misbah*. Jakarta: Lentera Hati.
- Suwitra, Nyoman. 1989. *Pengantar Fisika Zat Padat*. Jakarta: P2LPTK.
- Sukardjo. 2004. *Kimia Fisika*. Yogyakarta: Rineka Cipta.
- Sutresna, Nana. 2007. *Cerdas Belajar Kimia*. Bandung: Grafindo Media Pratama.
- Widodo, Tri. 2014. *Analisis Pengaruh Waktu Penahanan Celup Terhadap Ketebalan Permukaan dan Kilap Pada Proses Elektroplating Baja KarbonTinggi* [Skripsi]. Fakultas Teknik, Universitas Muhamadiyah Surakarta.
- Young, Hough. D dan Roger A. Freedman. 2004. *University Physics Tenth Edition*, terj. Pantur Silabun. Fisika Universitas Edisi Kesepuluh Jilid 2. Jakarta: Erlangga.

## **RIWAYAT HIDUP**



Lisa Marlisa Syam atau sering dipanggil “lit” lahir di Kab. Luwu Utara Desa Bungadidi pada tanggal 21 Juni 1995. Merupakan anak kesepuluh dari sebelas orang bersaudara, anak dari buah kasih cinta oleh kedua orang tua yang bernama Alm. Bapak Syamsul Bahri dan Ibu Anna. Pendidikan formal dimulai dari

sekolah dasar pada tahun 2000 dan lulus pada tahun 2006. Pada tahun yang sama penulis melanjutkan pendidikan di Sekolah Menengah Pertama (SMPN 3 Bone-Bone) dan lulus pada tahun 2009, dan pada tahun yang sama pula penulis melanjutkan lagi pendidikannya di Sekolah Menengah Atas (SMAN 1 Bone-Bone) dan lulus pada tahun 2012. Penulis Kemudian melanjutkan pendidikan ke perguruan tinggi di “Universitas Islam Negeri (UIN) Alauddin Makassar sampai dengan sekarang. Sampai dengan penulisan skripsi ini penulis masih terdaftar sebagai mahasiswa program S1 Fisika Fakultas Sains dan Teknologi. Penulis berharap bahwa, semoga jurusan fisika ini nantinya dapat membawa penulis menuju tangga kesuksesan dan dapat menjadi tenaga praktisi dan peneliti dalam bidang ilmu fisika yang terintegrasi dengan ilmu-ilmu keislaman, seperti misi dari fisika. Amiiin....

# **LAMPIRAN 1**

## **Hasil Data XRF**

2016-10-20 13:39

ThermoFisher-EDS/EDS Quant Analysis Report  
 SAMPLE ANALYSIS REPORT  
 ARL QUANT'X EDXRF ANALYSER

THERMO FISHER SCIENTIFIC  
 (EDXRF) STANDARDLESS METHOD

---

C:\Users\USER\Quant'X\JOB\JOB\_143  
 Sample ident = batanganPa2

Compound	w/w%	StdErr	El	w/w%	StdErr
Fe2O3	22.96	3.53	Fe	11.73	2.47
MgO	21.85	3.75	Mg	13.18	2.26
MnO	1.55	0.08	Mn	1.23	0.06
CaO	1.07	0.05	Ca	0.762	0.038
K2O	0.875	0.045	K	0.728	0.038
P2O5	0.37	0.14	P	0.162	0.061
CuO	0.158	0.010	Cu	0.124	0.008
NiO	0.0363	0.0083	Ni	0.0285	0.0065
ZnO	0.0240	0.0041	Zn	0.0193	0.0033
Nb2O5	0.0197	0.0027	Nb	0.0158	0.0019
SrO2	0.0181	0.0014	Sr	0.0143	0.0011
MoO3	0.0150	0.0026	Mo	0.0108	0.0017
RuO4	0.0053	0.0018	Ru	0.0040	0.0013

KnownConc= 0                      REPT= 0                      D/S= 0  
 Sum Conc's before normalization to 100% : 34.4 %



2016-10-20 13:40

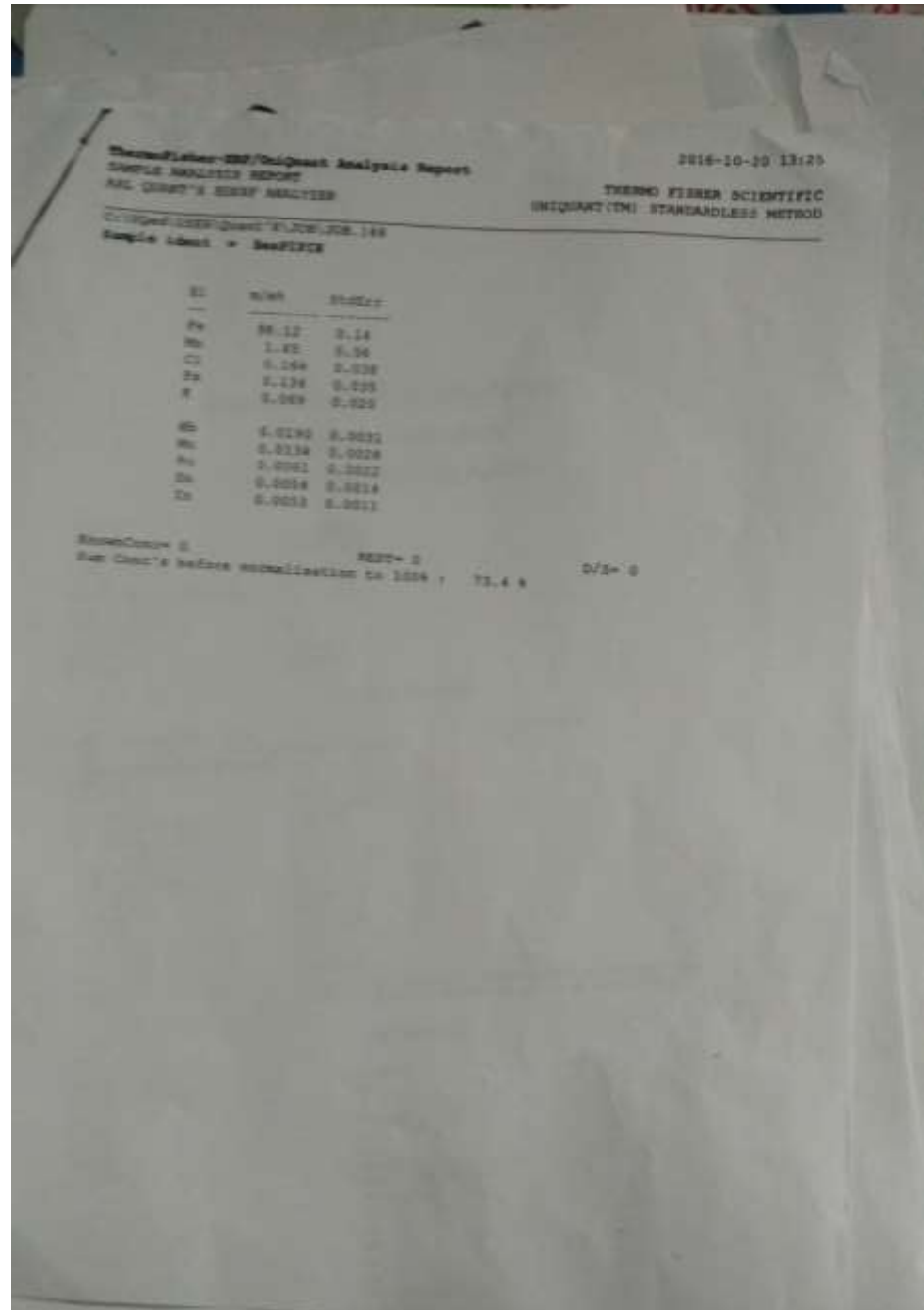
ThermoFisher-EDS/Element Analysis Report  
 SAMPLE ANALYSIS REPORT  
 ARL QUANT'S EDGE ANALYSIS

THERMO FISHER SCIENTIFIC  
 UNIQANT(TM) STANDARDLESS METHOD

Client: D:\Users\Guest\OneDrive\Documents\1610201340  
 Sample Ident = ResPIR

Compound	wt%	Stdev	Z	wt%	Stdev
Pw205	88.17	0.13	Fe	88.66	0.09
Mn05	1.25	0.06	Mn	1.05	0.04
P205	0.237	0.002	Fe	0.104	0.007
Cl	0.126	0.009	Cl	0.126	0.009
K20	0.043	0.018	K	0.052	0.011
Mn205	0.0179	0.0010	Mn	0.0125	0.0021
Mn03	0.0133	0.0008	Mn	0.0089	0.0018
Mn04	0.0053	0.0019	Mn	0.0040	0.0015

KnownComp= 0      REPT= 0      S/S= 0  
 Sum Comp's before normalization is 100% ; 78.7 4





# **LAMPIRAN 2**

## **Hasil XRD dan SEM**

## Match! Phase Analysis Report

UNIVERSITAS HASANUDDIN

Sample: (NANOPARTIKEL Fe<sub>3</sub>O<sub>4</sub>)

**Sample Data**  
 File name: nan12048.P004  
 Data range: 15.000° - 66.000°  
 Number of points: 2051  
 Step size: 0.020  
 Rietveld refinement converged: No  
 Alpha2 subtracted: No  
 Background subtracted: No  
 Data smoothed: Yes  
 Radiation: X-rays  
 Wavelength: 1.540600 Å

### Matched Phases

Index	Amount (%)	Name	Formula sum
1	100.0	Iron (dron(III) oxide Magnetite	Fe <sub>3</sub> O <sub>4</sub>
<b>A. Iron (dron(III) oxide Magnetite (100.0 %)</b>			
Formula sum: Fe <sub>3</sub> O <sub>4</sub>			
Entry number: 96-101-1085			
Figure-of-Merit (FoM): 0.731679			
Total number of peaks: 35			
Peaks in range: 33			
Peaks matched: 4			
Intensity scale factor: 0.32			
Space group: F - 43 m			
Crystal system: cubic			
Unit cell: a = 0.4000 Å			
Volume: 0.06			
Mass density: 5.179 g/cm <sup>3</sup>			
Calc. density: 5.188 g/cm <sup>3</sup>			
Reference: Clewson, A. A., "The scattering power of oxygen and iron for X-Rays", Proceedings of the Physical Society, London 38, 482-487 (1926)			

### Candidates

Name	Formula	Entry No.	FoM
Beryllium	Be	96-901-2035	0.8301
Hydrogen	H	96-901-1570	0.8245
Phosphorus	P	96-900-1312	0.8039
Beryllium	Be	96-901-2013	0.8010
Chalcocite	Cu <sub>2</sub> S	96-900-8288	0.7955
Sapphire	3Ga <sub>2</sub> Si <sub>2</sub> O <sub>7</sub> Ge <sub>1.225</sub> Mg <sub>2</sub> 216O1096	96-900-5377	0.7891
	Al <sub>2</sub> SiO <sub>5</sub>	96-810-2939	0.7852
	Ag <sub>2</sub> Co <sub>10</sub> 14S <sub>8</sub> 72	96-430-9011	0.7826
	Fe <sub>3</sub> O <sub>4</sub> Tb <sub>4</sub>	96-900-6957	0.7804
Iron	Fe	96-900-6958	0.7755
Iron	Fe	96-901-2009	0.7744
Beryllium	Be	96-901-2027	0.7725
Beryllium	Be	96-901-2026	0.7725
Beryllium	Be	96-433-0512	0.7718
	Al <sub>2</sub> Si <sub>2</sub> O <sub>7</sub> Fe <sub>0.7</sub> 803	96-900-2813	0.7694
	C Mg O <sub>3</sub>	96-900-2813	0.7694
Magnetite	Fe <sub>3</sub> O <sub>4</sub>	96-901-2036	0.7666
Beryllium	Be	96-432-0891	0.7614
	Fe <sub>3</sub> O <sub>4</sub> Tb <sub>4</sub>	96-430-9010	0.7603
	Si <sub>2</sub> Mg <sub>2</sub>	96-223-5289	0.7588
dimagnesium pentacarbonate			

Paramatocosta	Al2 Fe3 S4	96-205-8783	0.7548
	Cu4 O3	96-905-0804	0.7544
Beryllium	Al2 Co3 O12 S3	96-901-0340	0.7465
	Be	96-901-2023	0.7401
	C Fe3	96-230-0062	0.7387
Beryllium	C Fe3	96-230-0070	0.7388
Beryllium	Be	96-901-2018	0.7382
	Be	96-901-2019	0.7379
Beryllium	PuO6 UO4	96-210-1458	0.7374
	Be	96-901-2020	0.7363
	Al2 Co3 O12 S3	96-901-0338	0.7361
Beryllium	C Fe3	96-230-0069	0.7356
	Be	96-901-2021	0.7353
	C Fe3	96-230-0071	0.7343
	PuO6 UO4	96-210-1457	0.7342
	C Fe3	96-230-0068	0.7329
	C Fe3	96-230-0061	0.7306
	Al11 Co6 S6	96-210-2927	0.7305
Iron carbide (3:1) (Cohentite)	Fe3 C	96-101-2037	0.7302
Cohentite	C Fe3	96-901-1405	0.7302
Cementite	C Fe3	96-901-1406	0.7302
Beryllium	Be	96-901-2017	0.7302
	C Fe3	96-230-0067	0.7295
Germanium	Ge	96-901-3110	0.7288
Hydrogen	H	96-901-1571	0.7267
Pyrorene-ideal	Mg O3 Si	96-900-2916	0.7256
	Al2 Co3 O12 S3	96-901-0337	0.7233
Beryllium	Be	96-901-2037	0.7231
	Al2 Co3 O12 S3	96-901-0336	0.7227
Beryllium	Be	96-901-2022	0.7184
Pyrorene-ideal	Mg O3 Si	96-900-2837	0.7180
	Al2 Co3 O12 S3	96-901-0341	0.7159
	Al2 Co3 O12 S3	96-901-0342	0.7154

and 130 others...

## Search-Match

Settings	
Reference database used	COD-ICSD REVR1284 2013.04.15
Automatic zero-point adaptation	Yes
Minimum figure-of-merit (FOM)	0.50
Parameter influence 2theta	0.50
Parameter influence iden/bee	0.50
Parameter multiple/single phase(s)	0.50

## Criteria for entries added by user

Elements:

Elements that must be present:

O, Fe

Elements that must NOT be present:

All elements not mentioned above

## Peak List

No.	2theta [°]	d [Å]	hkl	FWHM	Matched
1	35.38	2.5351	625,22	0.3000	A
2	35.45	2.5299	171,37	0.3000	
3	35.56	2.5225	398,53	0.3000	
4	44.00	2.0564	374,08	0.0478	
5	44.28	2.0450	13,39	0.0827	
6	44.41	2.0383	24,58	0.0827	

KEMENTERIAN AGAMA  
KANTOR KEMENTERIAN AGAMA MAKASSAR

7	44.58	2.0207	274.96	0.3000
8	44.57	2.0272	4.00	0.0000
9	44.74	2.0298	1.75	0.0000
10	44.80	2.0190	18.67	0.0001
11	45.02	2.0121	186.85	0.3000
12	45.12	2.0078	15.28	0.1113
13	45.26	1.9998	50.95	0.1000
14	45.36	1.9970	31.54	0.0607
15	45.53	1.9908	174.83	0.2000
16	45.74	1.9819	48.06	0.1400
17	45.85	1.9774	31.83	0.1204
18	45.91	1.9751	1.87	0.0134
19	46.01	1.9711	262.16	0.3000
20	46.18	1.9651	92.91	0.1900
21	46.30	1.9593	19.93	0.0714
22	46.36	1.9562	33.67	0.1100
23	46.44	1.9536	114.83	0.2232
24	46.57	1.9480	106.33	0.2335
25	46.64	1.9459	0.72	0.0174
26	46.68	1.9443	0.00	0.0010
27	46.75	1.9415	68.80	0.1301
28	46.88	1.9365	84.84	0.1387
29	47.02	1.9311	85.33	0.1839
30	47.16	1.9247	237.54	0.2901
31	47.32	1.9186	0.67	0.0399
32	47.40	1.9164	112.96	0.1451
33	47.58	1.9097	102.41	0.1278
34	47.68	1.9068	32.81	0.1682
35	47.77	1.9024	186.46	0.2202
36	47.86	1.8984	115.58	0.3000
37	48.02	1.8933	148.45	0.1941
38	48.18	1.8872	94.47	0.1279
39	48.32	1.8820	168.72	0.1962
40	48.48	1.8763	230.81	0.2202
41	48.70	1.8694	128.90	0.1487
42	48.77	1.8659	0.00	0.0010
43	48.88	1.8619	217.90	0.2189
44	49.04	1.8562	76.23	0.1281
45	49.18	1.8511	87.80	0.1800
46	49.32	1.8462	329.83	0.3000
47	49.44	1.8422	12.81	0.0648
48	49.51	1.8396	10.37	0.1150
49	49.56	1.8378	308.55	0.2983
50	49.74	1.8318	66.44	0.1548
51	49.88	1.8268	264.38	0.3000
52	50.06	1.8208	117.18	0.1942
53	50.28	1.8132	396.83	0.2972
54	50.42	1.8084	542.70	0.3010
55	50.48	1.8063	50.03	0.0514
56	50.62	1.8017	167.84	0.1730
57	50.73	1.7980	81.84	0.1609
58	50.87	1.7934	299.44	0.2098
59	51.00	1.7893	48.52	0.1118
60	51.09	1.7865	48.51	0.1052
61	51.16	1.7840	148.03	0.1971
62	51.32	1.7789	280.27	0.2491
63	51.54	1.7719	247.98	0.2264
64	51.66	1.7680	77.45	0.1905
65	51.76	1.7648	102.19	0.1900
66	51.76	1.7648	57.32	0.1512
67	51.88	1.7610	381.99	0.3000
68	51.98	1.7577	164.19	0.2827
69	52.15	1.7525	36.95	0.1008
70	52.26	1.7490	117.24	0.2486
71	52.37	1.7456	108.32	0.1889
72	52.48	1.7429	10.97	0.0582
73	52.58	1.7389	967.72	0.3000

UNIVERSITAS HASANUDDIN MAKASSAR

## Match! Phase Analysis Report

UNIVERSITAS HASANUDDIN

Sample: (NANOPARTIKEL)

**Sample Data**

File name	nan15Nul.RAW
Date range	15.000° - 66.000°
Number of points	2851
Step size	0.020
Reflint refinement converged	No
Alpha2 subtracted	No
Background built	No
Data smoothed	Yes
Reduction	X-rays
Wavelength	1.54060 Å

**Matched Phases**

Index	Amount (%)	Name	Formula sum
A	100.0	Iron (Iron(II)) oxide Magnetite	Fe3 O4
<b>A: Iron (Iron(II)) oxide Magnetite</b>			
<b>(100.0 %)</b>			
Formula sum		Fe3 O4	
Entry number		96-101-1005	
Figure-of-Merit (FOM)		0.500000	
Total number of peaks		35	
Peaks in range		34	
Peaks matched		3	
Intensity scale factor		1.00	
Space group		F d -3 m	
Crystal system		cubic	
Unit cell		a= 8.4000 Å	
Volume		6.06	
Mass density		5.179 g/cm <sup>3</sup>	
Calc. density		5.189 g/cm <sup>3</sup>	
Reference		Clausen A A, "The scattering power of oxygen and iron for X-Rays", Proceedings of the Physical Society, London 34, 482-487 (1928)	

**Candidates**

Name	Formula	Entry No.	FOM
Hedenbergite	Ca Fe O6 Si2	96-900-1006	0.7417
Diopside-ferrian	Ca Fe0.445 Mg0.805 O6 Si1.75	96-900-0339	0.7324
Forsterite	Fe1.1 Mg0.75 Mn0.15 O4 Si	96-900-0325	0.7278
	Ca0.96 Fe0.58 O6 Si1.88 Zn0.46	96-810-0605	0.7242
Diopside-eudialite	Ca Fe0.587 Mg0.733 O6 Si1.87	96-900-0340	0.7203
Diopside	Ca Fe0.66 Mg0.34 O6 Si2	96-900-4214	0.7193
Hedenbergite	Ca Fe O6 Si2	96-900-1826	0.7137
Forsterite	Fe1.1 Mg0.75 Mn0.15 O4 Si	96-900-0325	0.7030
Magnesium iron calcium aluminum silicate * (Augite)	Al0.7 Ca Fe0.2 Mg0.8 O6 Si1.5	96-120-0007	0.7025
Hedenbergite	Ca Fe O6 Si2	96-720-4789	0.7008
Hedenbergite	Fe Mg O4 Si	96-900-6899	0.6996
Hedenbergite	Fe Mg O4 Si	96-900-6554	0.6990
Olivine	Al1.368 Ca0.742 Fe0.162 Mg0.016 O6 Si1.5	96-901-0078	0.6982
Pyroxene	Ca0.758 Fe Na0.242 O6 Si2	96-901-0078	0.6981
Hedenbergite	Ca0.85 Fe Na0.15 O6 Si2	96-900-5433	0.6968
Hedenbergite	Ca0.75 Fe Na0.25 O6 Si2	96-810-0606	0.6958
Hedenbergite	Ca Fe0.21 O6 Si1.97 Zn0.85	96-900-4213	0.6883
Diopside	Ca Fe0.48 Mg0.52 O6 Si2	96-900-6898	0.6881
Olivine	Fe Mg O4 Si		

KEMENTERIAN PERTANIAN REPUBLIK INDONESIA KEMENTERIAN PERTANIAN KEMENTERIAN PERTANIAN			
Drospide-ferman	Ca FeO 287 MgO 287 O6 S1 876	96-900-4326	0.8891
Drospide	Ca FeO 205 MgO 285 O6 S1 8	96-900-4326	0.8890
Drospide	Ca FeO 28 MgO 14 O6 S2	96-900-4312	0.8844
Obivine	Fe Mg O4 S2	96-900-4387	0.8837
Chroymosane	Al2O3 CaO 98 FeO 22 MgO 27 Na2O 21 Na2O 21 O6 S1 3 762 27	96-900-4192	0.8816
Obivine	Fe Mg O4 S2	96-900-4688	0.8816
Drospide	Al2O3 CaO 98 FeO 22 MgO 27 Na2O 21 Na2O 21 O6 S1 3 762 27	96-900-4688	0.8816
Obivine	Fe Mg O4 S2	96-900-4688	0.8816
Heckenbergite	CaO 742 Fe Na2O 256 O6 S2	96-900-4688	0.8790
Heckenbergite	Ca Fe O6 S2	96-900-1810	0.8751
Jadite	Ca Fe O6 S2	96-900-4670	0.8747
Drospide	Ca FeO 18 MgO 82 O6 S2	96-900-4211	0.8722
Heckenbergite	Al2O3 CaO 76 FeO 76 Na2O 24 O6 S2	96-900-4326	0.8721
Drospide	Al2O3 Ca FeO 22 MgO 27 O6 S1 822	96-900-4318	0.8721
Drospide	Al2O3 Ca FeO 218 MgO 262 O6 S1 822	96-900-4318	0.8714
Jadite	Al2O3 CaO 76 FeO 76 Na2O 24 O6 S2	96-900-4674	0.8712
Drospide	Ca FeO 12 MgO 843 O6 S1 827	96-900-4335	0.8707
Drospide	Al2O3 Ca FeO 224 MgO 276 O6 S1 822	96-900-4318	0.8703
Drospide	Al2O3 Ca FeO 202 MgO 266 O6 S1 822	96-900-4321	0.8701
Augite	Al CaO 81 FeO 13 Al2O3 17 MgO 43 MgO 21 Na2O 26 O6 S1 81	96-900-2902	0.8701
Drospide	Al2O3 Ca FeO 206 MgO 262 O6 S1 822	96-900-4320	0.8700
Drospide	Al2O3 Ca FeO 216 MgO 264 O6 S1 822	96-900-4314	0.8700
Drospide	Al2O3 Ca FeO 211 MgO 269 O6 S1 822	96-900-4315	0.8695
Drospide	Al2O3 Ca FeO 208 MgO 262 O6 S1 822	96-900-4312	0.8690
Drospide	Al2O3 Ca FeO 202 MgO 264 O6 S1 822	96-900-4317	0.8689
Drospide-ferman	Ca FeO 194 MgO 206 O6 S1 8	96-900-4337	0.8682
Drospide	Al2O3 Ca FeO 208 MgO 262 O6 S1 822	96-900-4313	0.8680
Yttrium Iron Molybdenum Oxide	Fe Mo O7 Y2	96-720-4786	0.8673
Drospide	Al 817 Ca FeO 193 O4	96-900-5479	0.8649
Drospide	Al2O3 CaO 21 FeO 1 MgO 21 Na2O 26 O6 S1 87	96-900-1333	0.8617
Heckenbergite	Al2O3 CaO 768 FeO 211 FeO 258 K2O 273 MgO 265 Na2O 223 O6 S1 862	96-900-1741	0.8602
Drospide	Ca Fe O6 S2	96-900-4075	0.8590
Heckenbergite	Al2O3 Ca FeO 208 MgO 262 O6 S1 822	96-900-4322	0.8584
Drospide	Ca Fe O6 S2	96-900-1807	0.8576
and 19 others...			

**Search-Match**

Settings	Value
Reference database used	CCO-Index REVS1284 2013.04.15
Automatic stoichiometry adjustment	Yes
Minimum figure-of-merit (FoM)	0.60
Parameter influence 2theta	0.50
Parameter influence intensity	0.50
Parameter multiplicity (hkl)	0.50

**Selection Criteria**

Elements:

Elements that must be present: O, Fe

Elements that may be present: All elements not mentioned above

**Criteria for entries added by user**

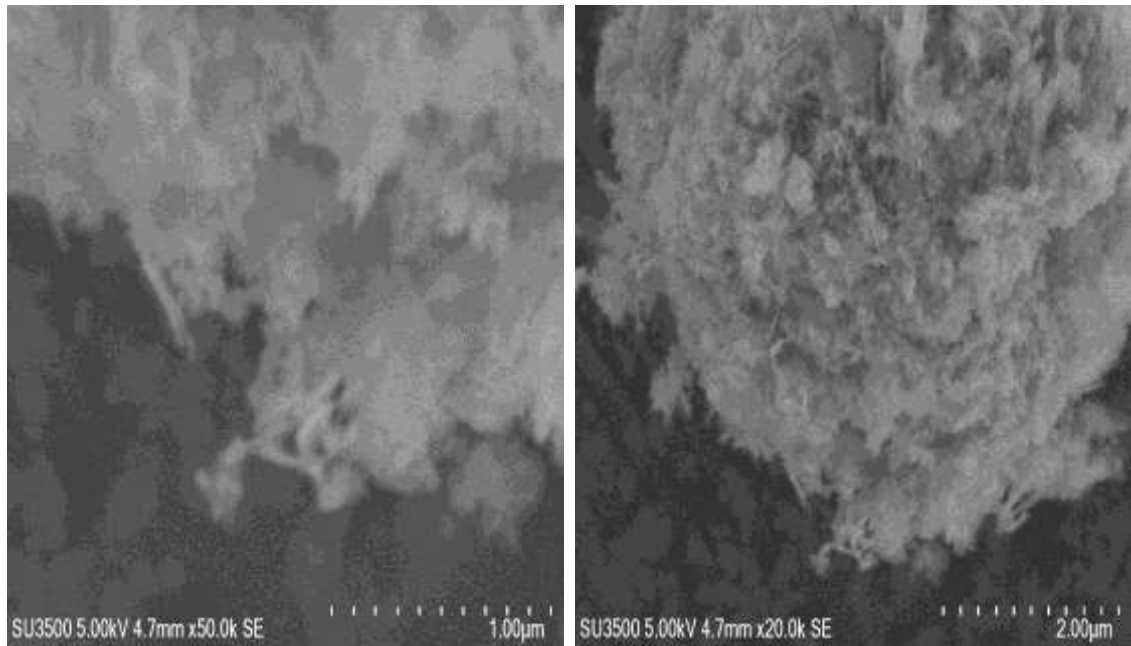
Elements:

Elements that must be present: O, Fe



Gambar hasil morfologi nanopartikel menggunakan SEM yaitu:

Nanopartikel magnetite 5 volt



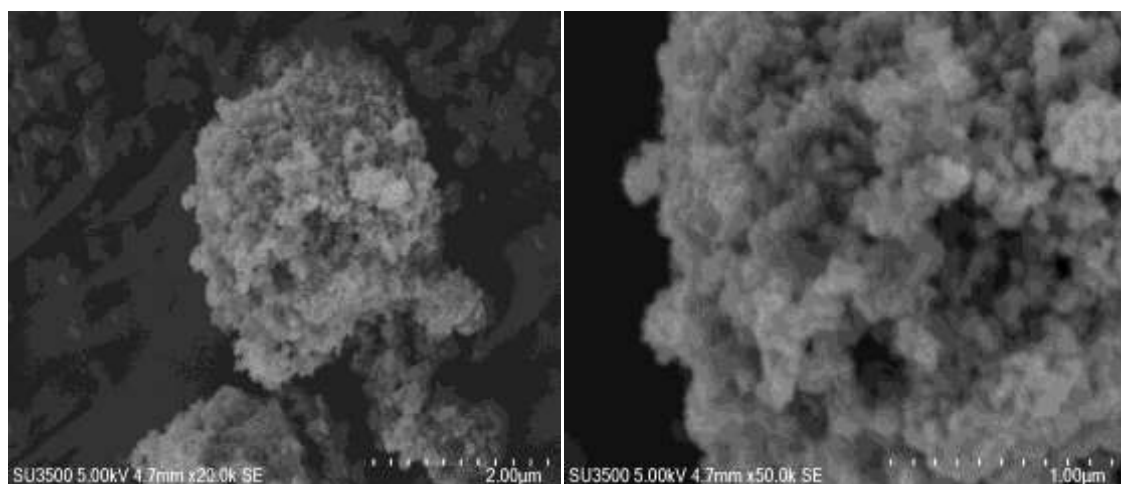
(a)

(b)

Gambar 4.6: Hasil morfologi SEM untuk perlakuan  $V_s = 5$  volt dengan perbesaran

(a) 20.000 kali dan (b) 20.000 kali

Gambar morfologi nanopartikel magnetite 10 volt



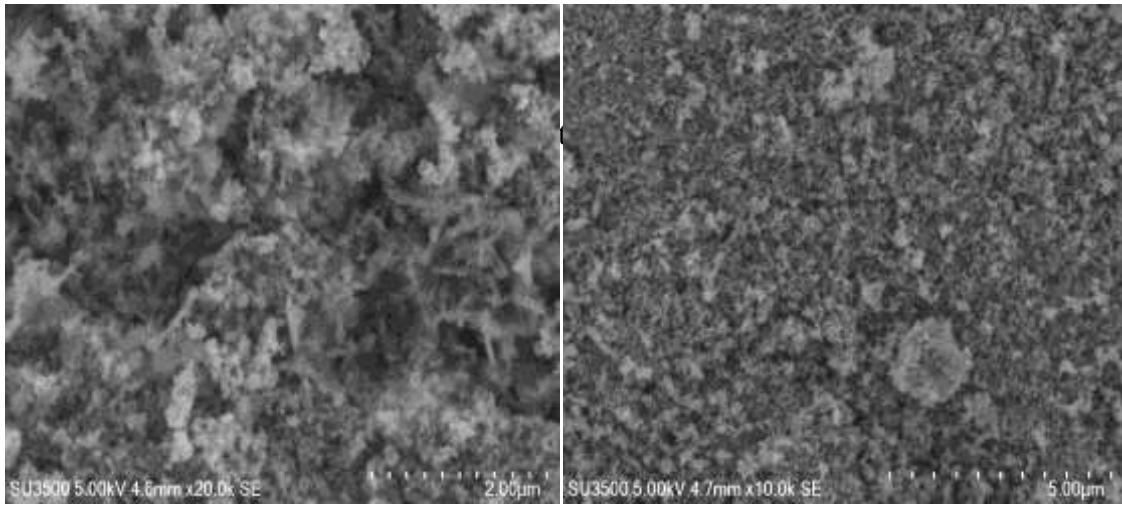
(a)

(b)

Gambar 4.7: Hasil morfologi SEM untuk perlakuan  $V_s = 10$  volt dengan perbesaran

(a) 20.000 kali dan (b) 50.000 kali





(a)

(b)

Gambar 4.8: Hasil morfologi SEM untuk perlakuan  $V_s = 15$  volt dengan perbesaran (a) 20.000 kali dan (b) 10.000 kali

# **LAMPIRAN 3**

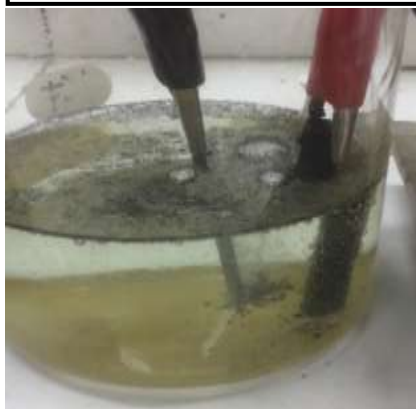
## **Dokumentasi Penelitian**

**PENGUJIAN**

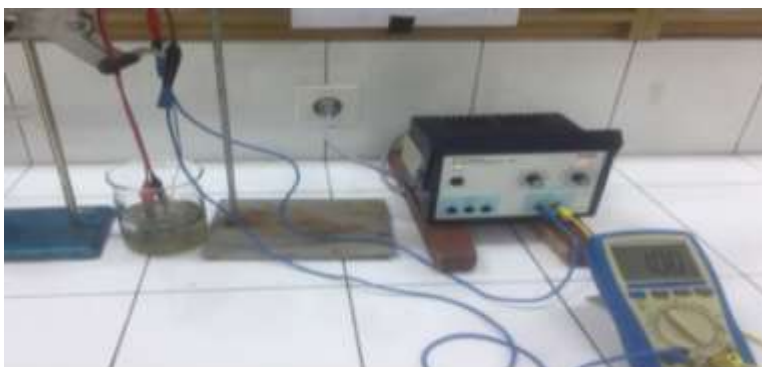
Dua ampel besi hasil XRF yang akan digunakan



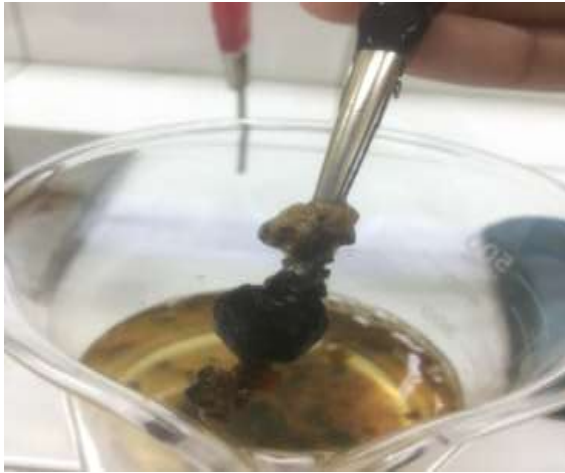
Proses elektroplating dan hasil yang didapatkan



Pembuatan nanopartikel dengan metode elektrokimia



Hasil nanopartikel setelah menggunakan metode elektrokimia selama 24 jam



Pengeringan sampel nanopartikel magnetite yang dihasilkan dan hasil nanopartikel



**PENGUJIAN SAMPEL DENGAN MENGGUNAKAN XRD**

Beberapa alat yang digunakan yaitu plat aluminium dan sendok dengan volume sendok teh



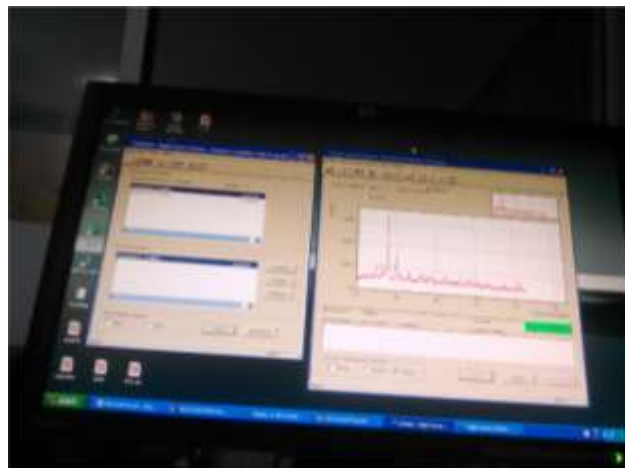
Proses memasukkan sampel ke dalam alat XRD



Proses analisis sampel dengan XRD.



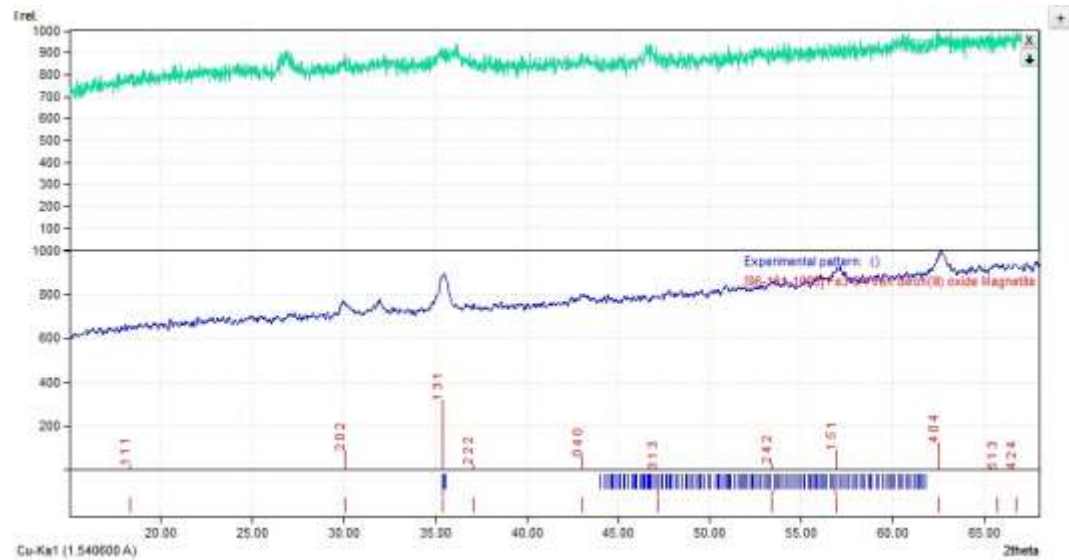
Saat analisis berlangsung maka secara bersamaan akan terbaca pada monitor komputer grafik difraktogram.



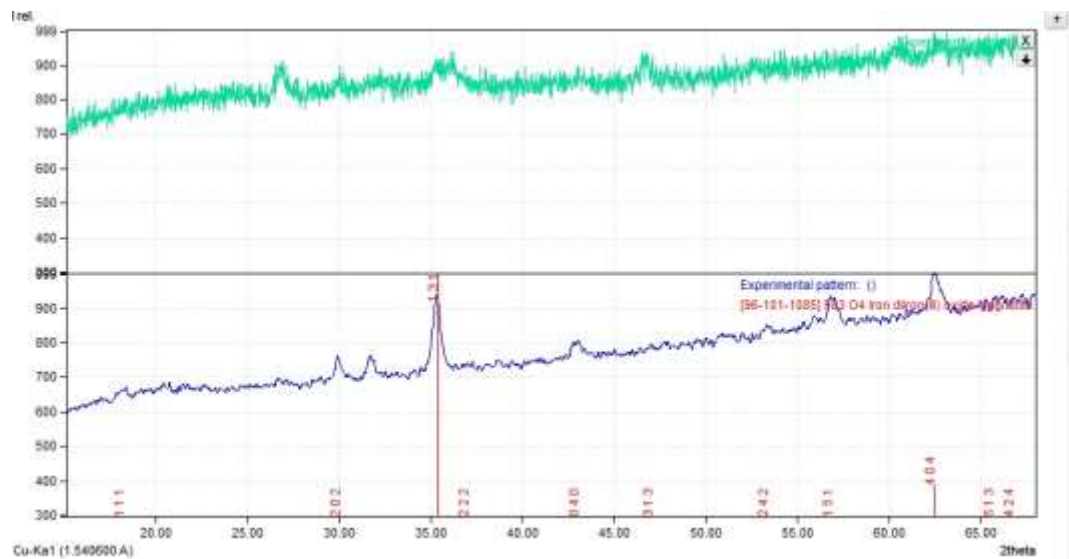
## Pengolahan Data.

Dari pengujian XRD didapatkan hasil grafik sebagai berikut:

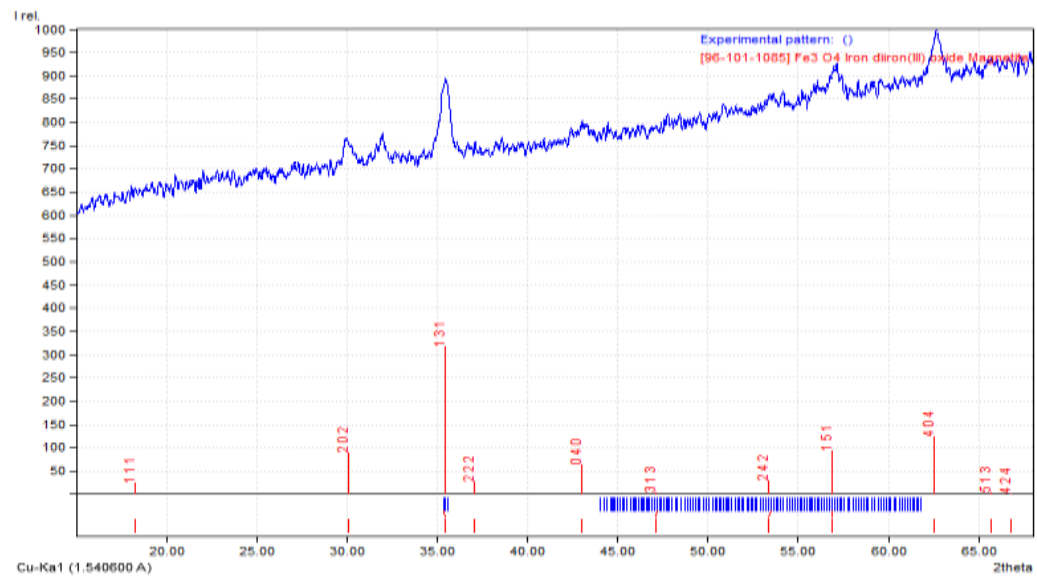
Grafik perbandingan 10 volt dan 15 volt



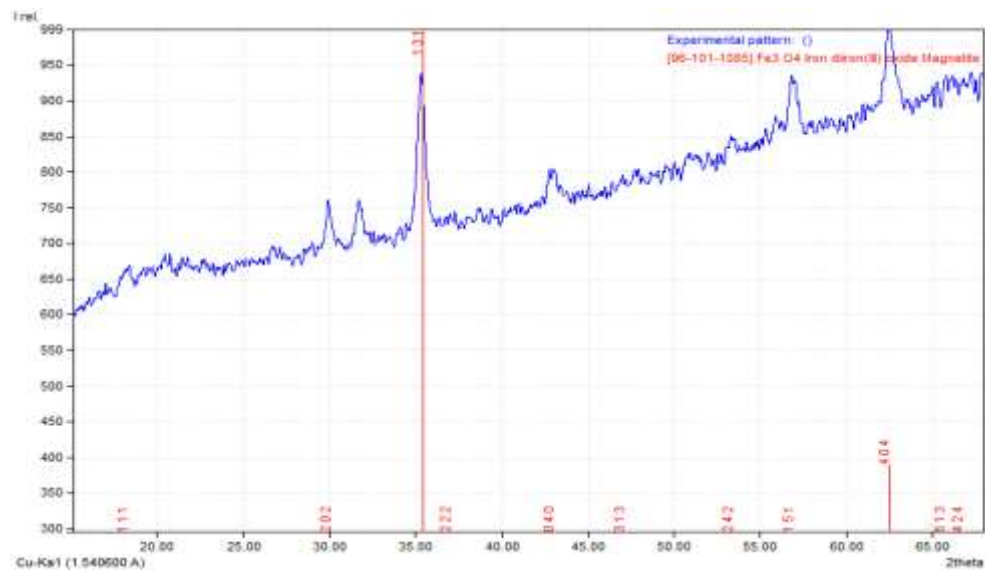
Grafik perbandingan 15 volt dan 5 volt



Grafik hasil XRD nanopartikel magnetite 10 volt



Grafik hasil XRD nanopartikel magnetite 15 volt

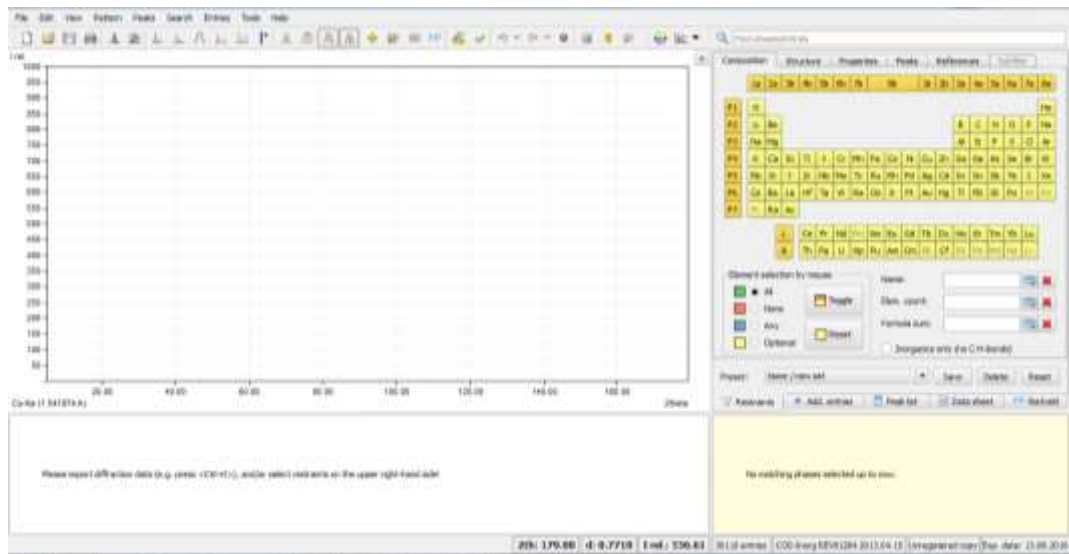


Data tersebut kemudian diolah dengan menggunakan *Software Match 2*.

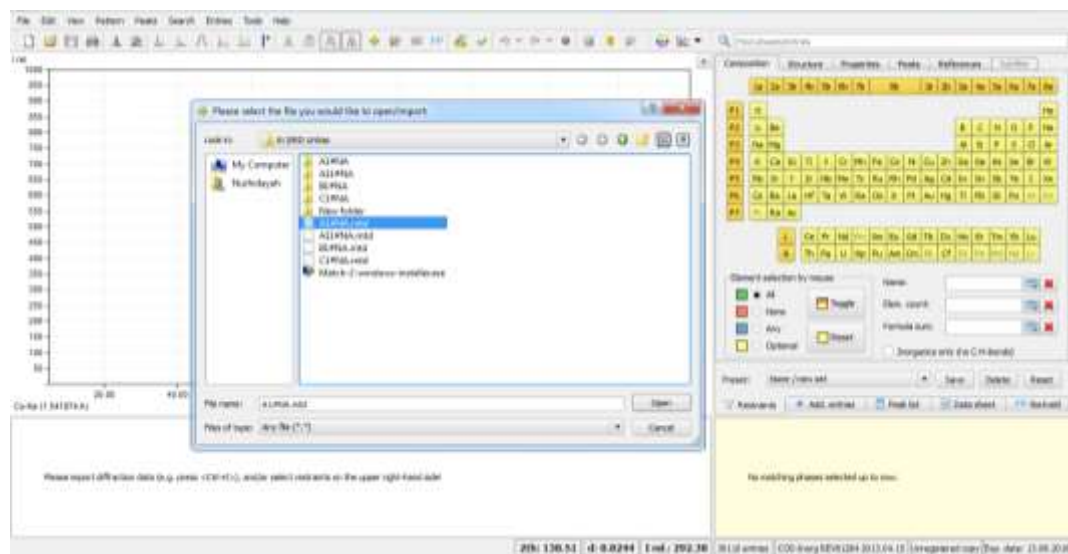
Dengan langkah analisa sebagai berikut:



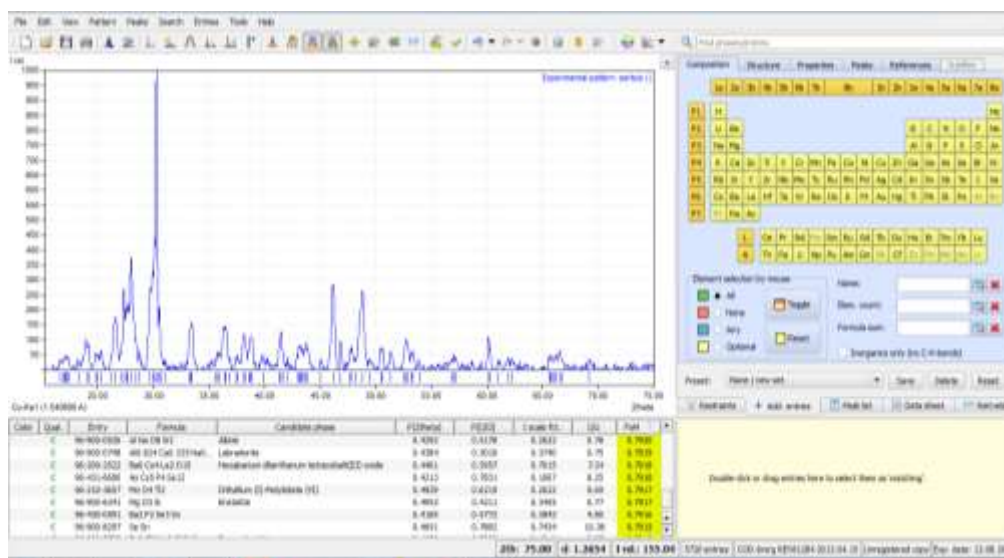
1. Membuka *Software Match*.



2. Membuka data yang akan dianalisis dengan klik **file** tempat penyimpanan data > pilih data yang akan diolah dengan **open**.



3. Kemudian akan muncul grafik XRD.



# **LAMPIRAN 4**

## **Dokumentasi Persuratan Penelitian**

KEMENTERIAN RISET, TEKNOLOGI, DAN PENDIDIKAN TINGGI  
UNIVERSITAS HASANUDDIN JURUSAN FISIKA FMIPA  
LABORATORIUM XRD & XRF  
KAMPUS UINHA TAMALANREA JL. PERINTIS KEMERDEKAAN Km. 10 Makassar 90245  
Telp. (0411) 518398, FKS 3463,3494,3495,3497,3515) 0411 587634 FAX 0411-588551

2016

### SURAT KETERANGAN

Dengan surat ini, kami menerangkan bahwa mahasiswa yang ber- :

Nama	: Lisa Marlisa Syam
NIM	: 60400112081
Jumlah sampel	: 3
Jenis pengukuran	: X-RD
Jenis sampel	: serbuk/batuan/cairan/tanah

Judul Skripsi "Uji Karakteristik Nanopartikel Magnetite Menggunakan X-RD"

Benar telah melakukan penelitian tugas akhir di laboratorium X-RD dan X-RF di Science Building FMIPA Uinhs dalam rangka penelitian tugas akhir.

Demikian surat keterangan ini, diharap dapat digunakan sebagaimana mestinya.

Head of XRD & XRF Laboratory  
Physics Department  
  
Prof. Dalilul Tahir, Ph.D  
NIP : 197509072000031006

# **LAMPIRAN 5**

## **SK Pembimbing**



KEPUTUSAN DEKAN FAKULTAS SAINS & TEKNOLOGI  
UN ALAUDDIN MAKASSAR  
NOMOR : 198/1201

TENTANG

PAMBAH ISMARA DRIFT PENELITIAN DAN PENGUSUNAN SERIPI MANASSIWA  
JURUSAN FISKA FAKULTAS SAINS & TEKNOLOGI UN ALAUDDIN MAKASSAR

DEKAN FAKULTAS SAINS & TEKNOLOGI UN ALAUDDIN MAKASSAR

- Menyampaikan Surat Penetapan Kerja Jurusan Fakultas Sains & Teknologi UN Alauddin Makassar. **Uin Alauddin Makassar Nomor 198/1201 tertanggal 30 Agustus 2014** untuk melaksanakan seripri drift
- Menyampaikan Salinan untuk pelaksanaan dan pelaksanaan seripri drift yang akan dilaksanakan pada semester II tahun 2014
- Mengingat
- Undang-undang No. 20 Tahun 2003 tentang Sistem Pendidikan Nasional
  - Peraturan Pemerintah Nomor 60 Tahun 1999 tentang Pendidikan Tinggi
  - Keputusan Presiden Nomor 17 Tahun 2000 tentang pelaksanaan Anggaran Pendapatan dan Belanja Negara
  - Keputusan Menteri Agama Nomor 286 Tahun 1993 dan Nomor 202 S Tahun 1998 tentang Pembinaan Kajian dan Penyelidikan Keilmuan Menengah/Umumnya Surat Keputusan
  - Keputusan Menteri Agama Nomor 3 Tahun 2004 tentang Pelaksanaan Pembinaan dan Penyelidikan Anggaran Pendapatan dan Belanja Negara di Lingkungan Departemen Agama
  - Keputusan Menteri Agama No. No. 23 Tahun 2013 tentang Organisasi dan Tata Kerja UN Alauddin Makassar
  - Keputusan Menteri Agama No. Nomor 93 Tahun 2007 tentang Statuta UN Alauddin Makassar
  - Keputusan Menteri Keuangan No.230/05/2008 tentang penetapan UN Alauddin Makassar pada Dep.Agama sebagai Instansi Pemerintah yang melaksanakan Pengabdian Sosial Layanan Umum (BSU)

MEMUTUSKAN

Menyampaikan Keputusan Pambah Ismara drift, Jurusan Fiska Fakultas Sains dan Teknologi UN Alauddin Makassar dengan komposisi

- Ketua : Suharsa, S.S., M.Sc., Ph.D
- Sekretaris : Riwan, S.Pd., M.S
- Pengantar I : Muhi, Said I., S.Si., M.Pd.
- Pengantar II : Hermawan, S.Pd., M.Pd.
- Pengantar III : Suharsa, S.S., M.Sc., Ph.D
- Pengantar IV : Setiawan, S.S., M.Sc.
- Pengantar V : Dr. H. Anas Fathoni, Ir., M.Ag
- Pelaksana : Huseini, S.T.

- Keputusan
- Pada seripri melaksanakan seripri drift/seripri, membuat tambahan, perbaikan-perbaikan, pembuatan masalah penyusunan daftar
  - Berita pelaksanaan seripri drift penelitian dan penelitian keilmuan di lingkungan Fakultas Sains dan Teknologi UN Alauddin Makassar
  - Agenda dilaksanakan hari pertama terdapat beberapa dalam surat keputusan ini akan dibuat dan diproses sebagaimana mestinya
- Surat Keputusan ini disampaikan kepada yang bersangkutan untuk diteliti dan dilaksanakan dengan penuh tanggungjawab.

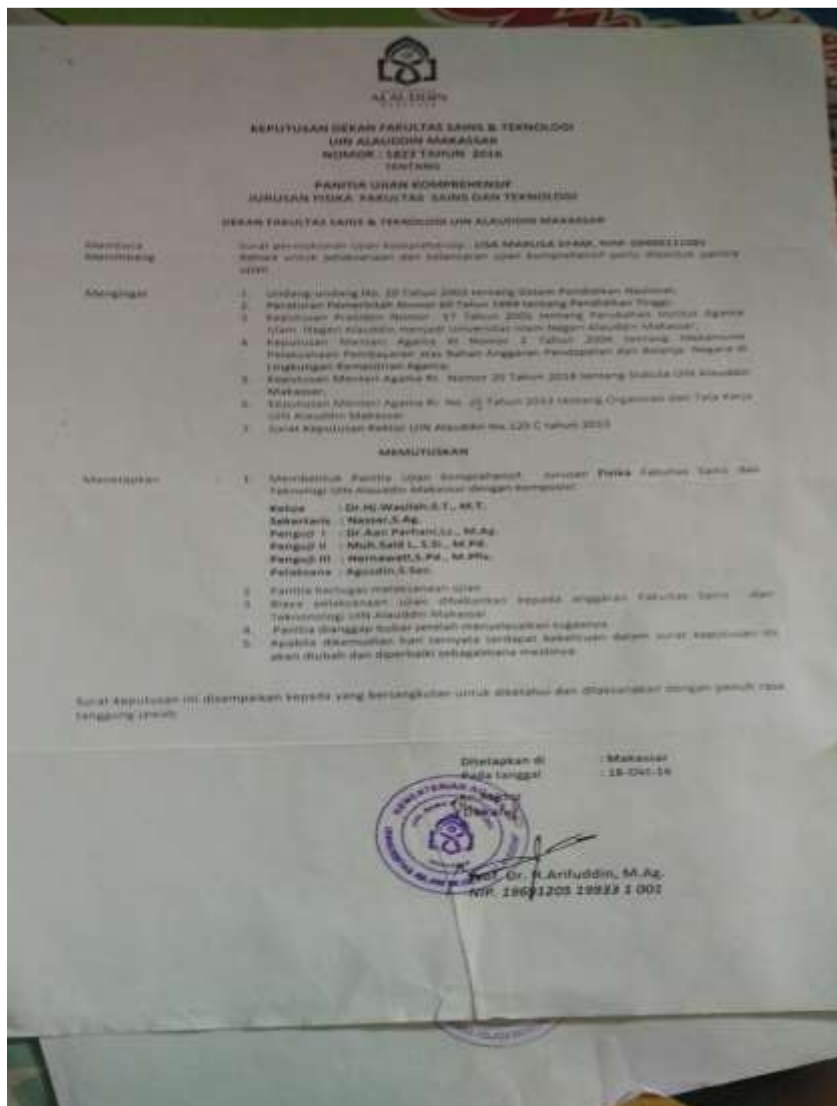
Ditandatangani pada tanggal 30 Agustus 2014


Prof. Dr. H. Annuddin, M.Ag.  
NIP. 1981205 198303 1 001









  
 UIN AR-RANIRY  
 REPUBLIK INDONESIA  
 UNIVERSITAS ISLAM ALAUDDIN MAAJALAH  
 NOMOR 281 TAHUN 2017  
 TENTANG  
**PANTIA UDAN MUNASASTAY**  
**JURUSAN FISIKA, FAKULTAS SAINS & TEKNOLOGI**

**DEWAN FAKULTAS SAINS & TEKNOLOGI UIN ALAUDDIN MAAJALAH**  
 Menetapkan  
 Surat penunjukan **USA MARLIS SYAH**  
 NIP. **4640013288**  
 Tanggal **07 Februari 2017**  
 dan masa jabatan **FISIKA**

**UNTUK MENYALING MURAHAGASTAY ANGGARAN TAHUNAN " 08 EKSPANSI DAN PETA**  
**PERKEMBANGAN MAGNETIS (FISIKA) MENGUNAKAN XRD DAN SEM"**

**MATERI/ALASAN**  
 1. Bahwa jabatan tersebut adalah suatu kedudukan yang diberikan oleh Majelis Munasastay  
 2. Bahwa untuk pelaksanaan dan keberhasilan usaha Munasastay perlu dibantu dengan tenaga ahli  
 3. Dengan Undang-undang No. 20 Tahun 2009 tentang Sistem Perencanaan Nasional  
 4. Undang-Undang Nomor 17 Tahun 2003 tentang Keuangan Negara  
 5. Undang-Undang Nomor 12 Tahun 2012 tentang Pendidikan Tinggi  
 6. Peraturan Menteri Agama RI No. 1 Tahun 2012 tentang Penunjukan sebagai ahli Penulisan Menter Agama Nomor 2 Tahun 2004 tentang Pelaksanaan Penunjukan Penunjukan oleh Badan Anggaran Pendidikan dan Science sebagai ahli lingkungan Kementerian Agama  
 7. Peraturan Menteri Agama RI Nomor 25 Tahun 2013 in Peraturan Menteri Agama Nomor 85 Tahun 2013 tentang Organisasi dan Tata Kerja UIN Alauddin Makassar  
 8. Peraturan Menteri Agama RI Nomor 20 tahun 2014 in Peraturan Menteri Agama Nomor 5 Tahun 2014 tentang Struktur UIN Alauddin Makassar  
 9. Peraturan Menteri Agama Nomor 289 Tahun 1999 in Nomor 222 8 Tahun 1998 tentang Pendidikan Extern dan Pendidikan Wawasan Masyarakat  
 10. Peraturan Menteri Agama Nomor 200/2008 tentang pelaksanaan UIN Alauddin Makassar untuk UIN Alauddin Makassar sebagai Peneliti yang Menekankan Pengembangan Badan UIN Alauddin (BU)

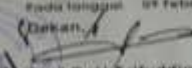
**MEMUTUSKAN**

**Menetapkan**  
 1. Menunjuk Pantia untuk Salang Murahastay Fakultas Sains dan Teknologi UIN Alauddin Makassar dengan komposisi  

Ketua	: Prof. Dr. H. Arifuddin, M. Ag.
Sejabat	: Hasan, S. Pd., M. Sc.
Pengaji I	: Suhana, S. St., M. Sc., Ph. D.
Pengaji II	: Sa. Eshon, S. St., M. Sc.
Pengaji III	: Dr. Asm. Farhan, Lc., M. Ag.
Pembimbing I	: Muh. Saif U., S. St., M. Pd.
Pembimbing II	: Hidayatullah, Pd., M. Pd.
Penyeksi	: Jumulyadi, S. T.

2. Untuk bertugas melaksanakan UIN Alauddin Makassar bagi salang yang namanya tersebut diatas  
 3. Untuk melaksanakan dan keberhasilan usaha anggaran Fakultas Sains & Teknologi UIN Alauddin Makassar  
 4. Apabila diperlukan hal-hal yang tidak terdapat dalam surat penunjukan ini maka dengan dan apabila sebagaimana ini ditetapkan

Keputusan ini dianggapkan berlaku yang selanjutnya untuk ditetapi dan dilaksanakan dengan penuh rasa tanggung jawab.

Ditetapi di Makassar  
 Pada tanggal **07 Februari 2017**  
 Dekan,  
  
**Prof. Dr. H. Arifuddin, M. Ag.**  
 NIP. 19691205.199303.1.001